

Point Clouds, Segments, Semantics and Automation

Florent Poux

Context



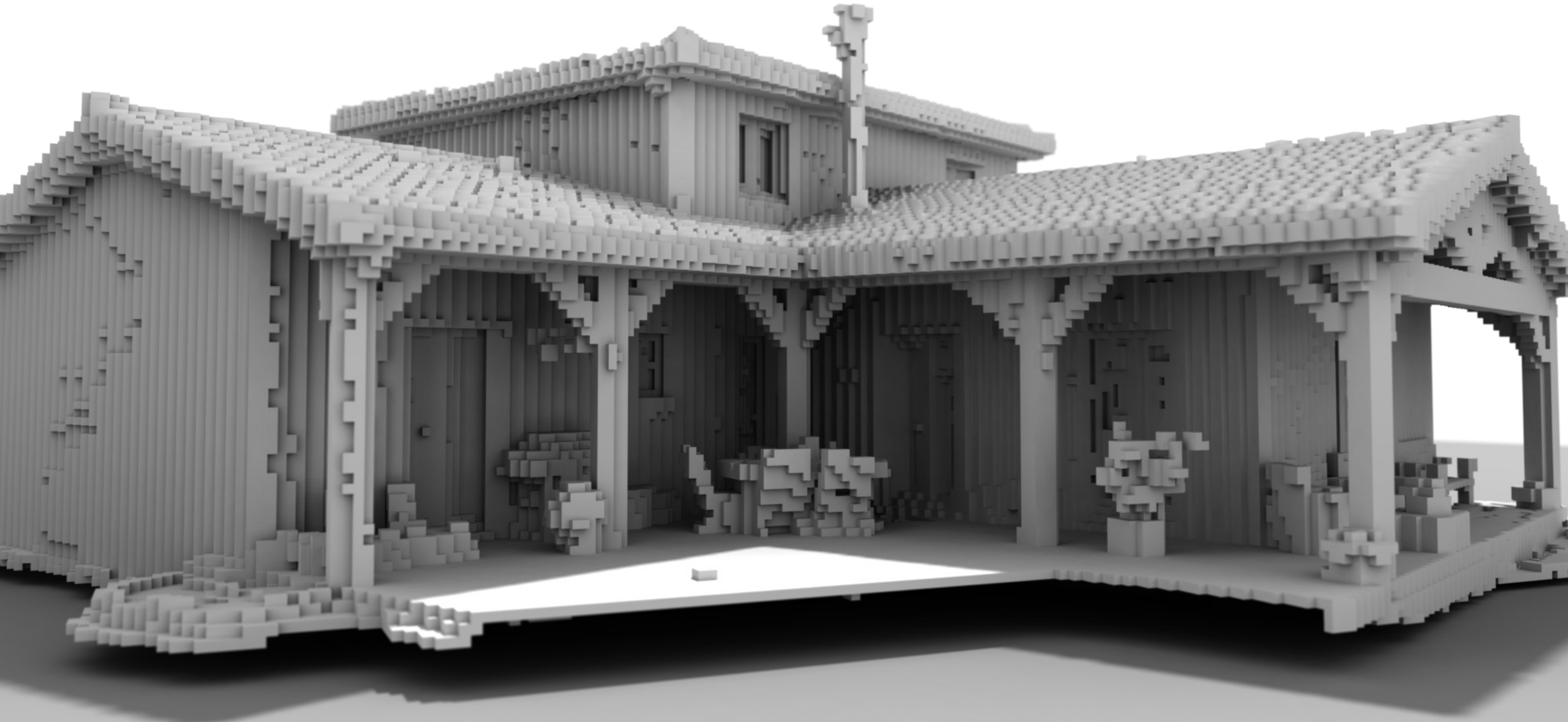
3D Point Cloud Specificities

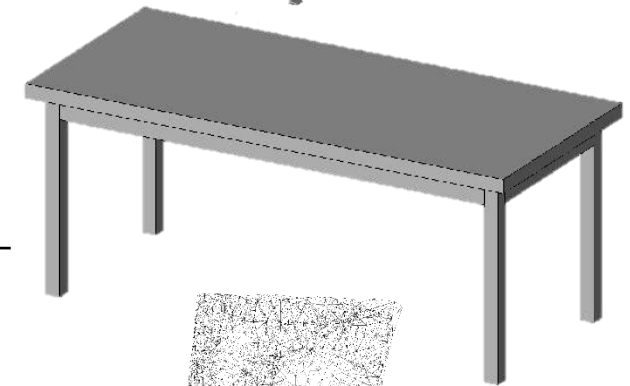
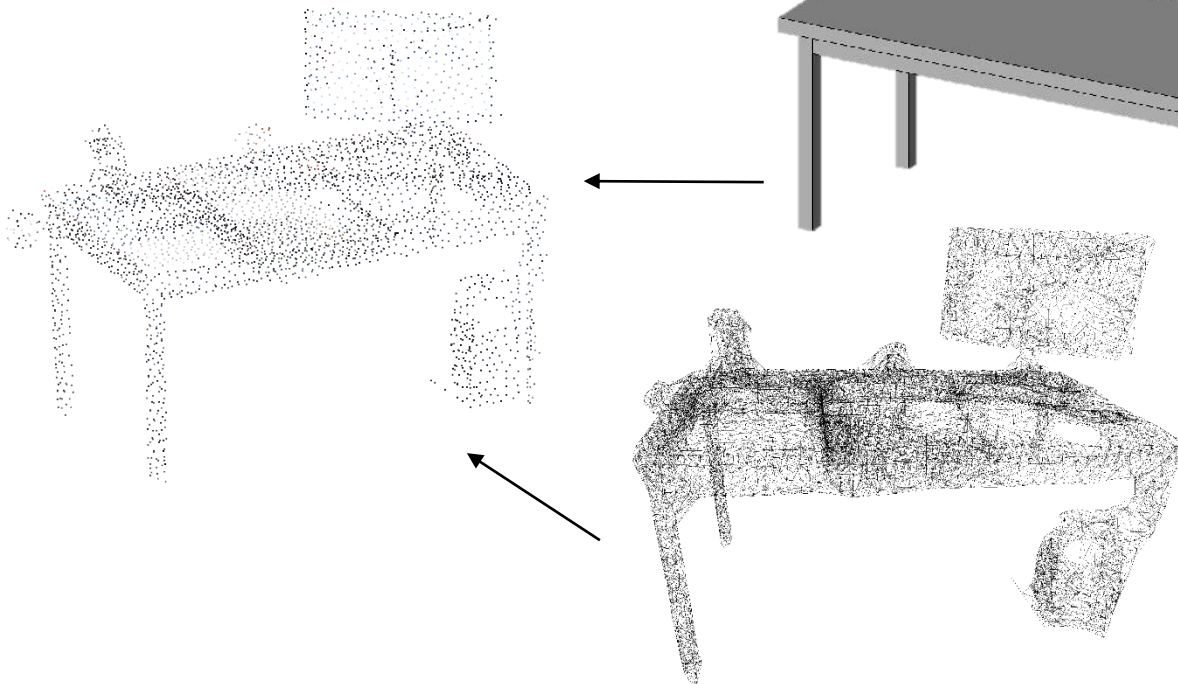


MAP - 2020

Florent Poux - PC, Segments, Semantic and Automation

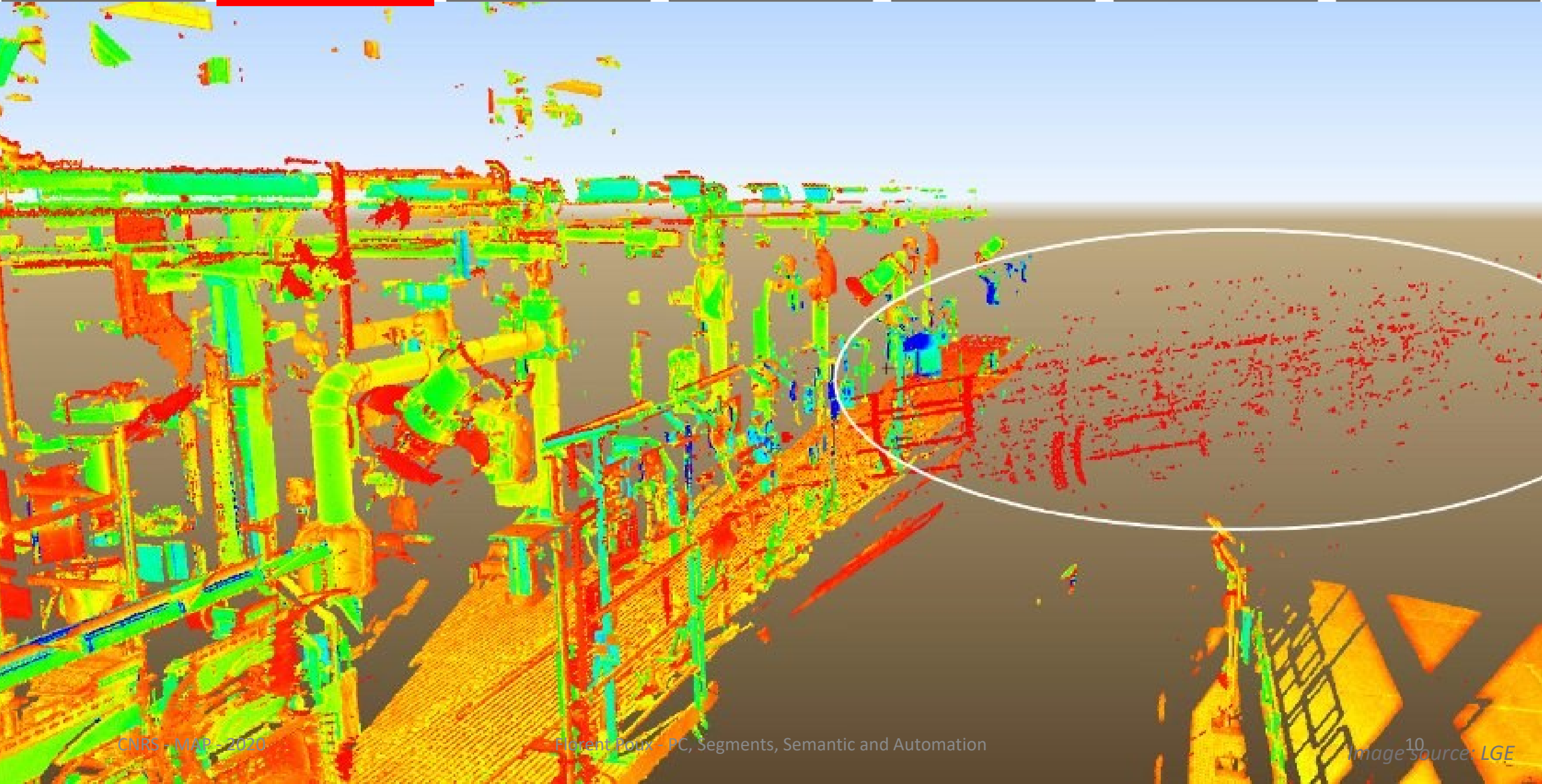
Representation & Structuration

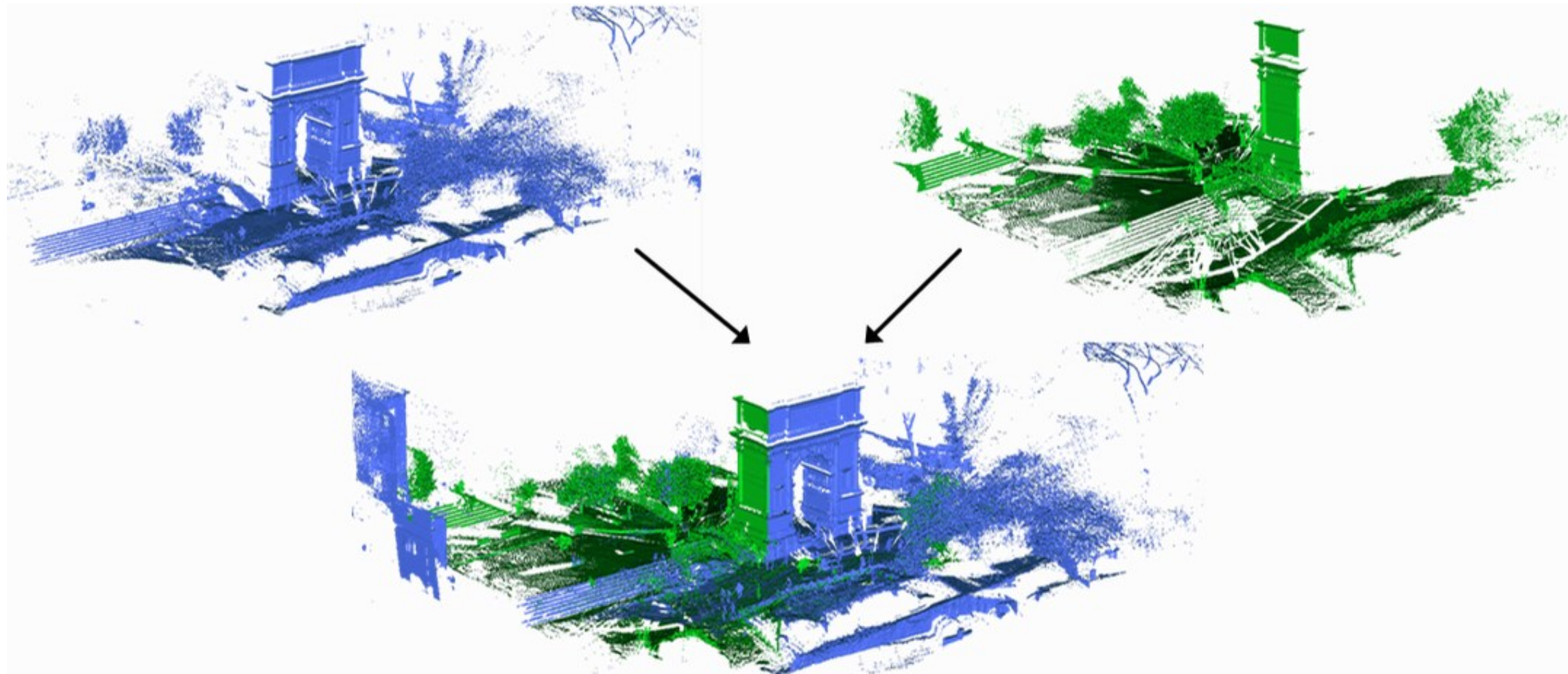


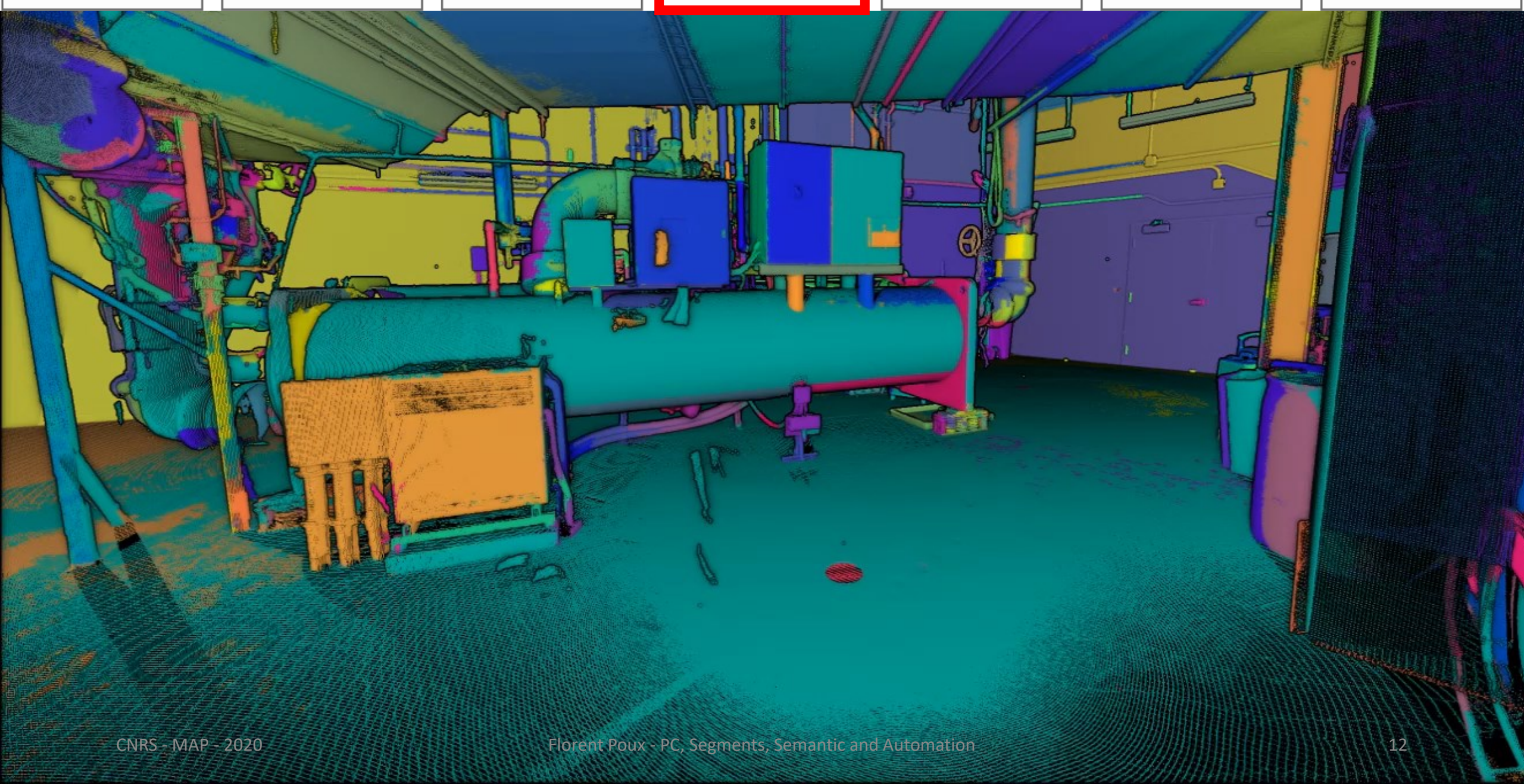


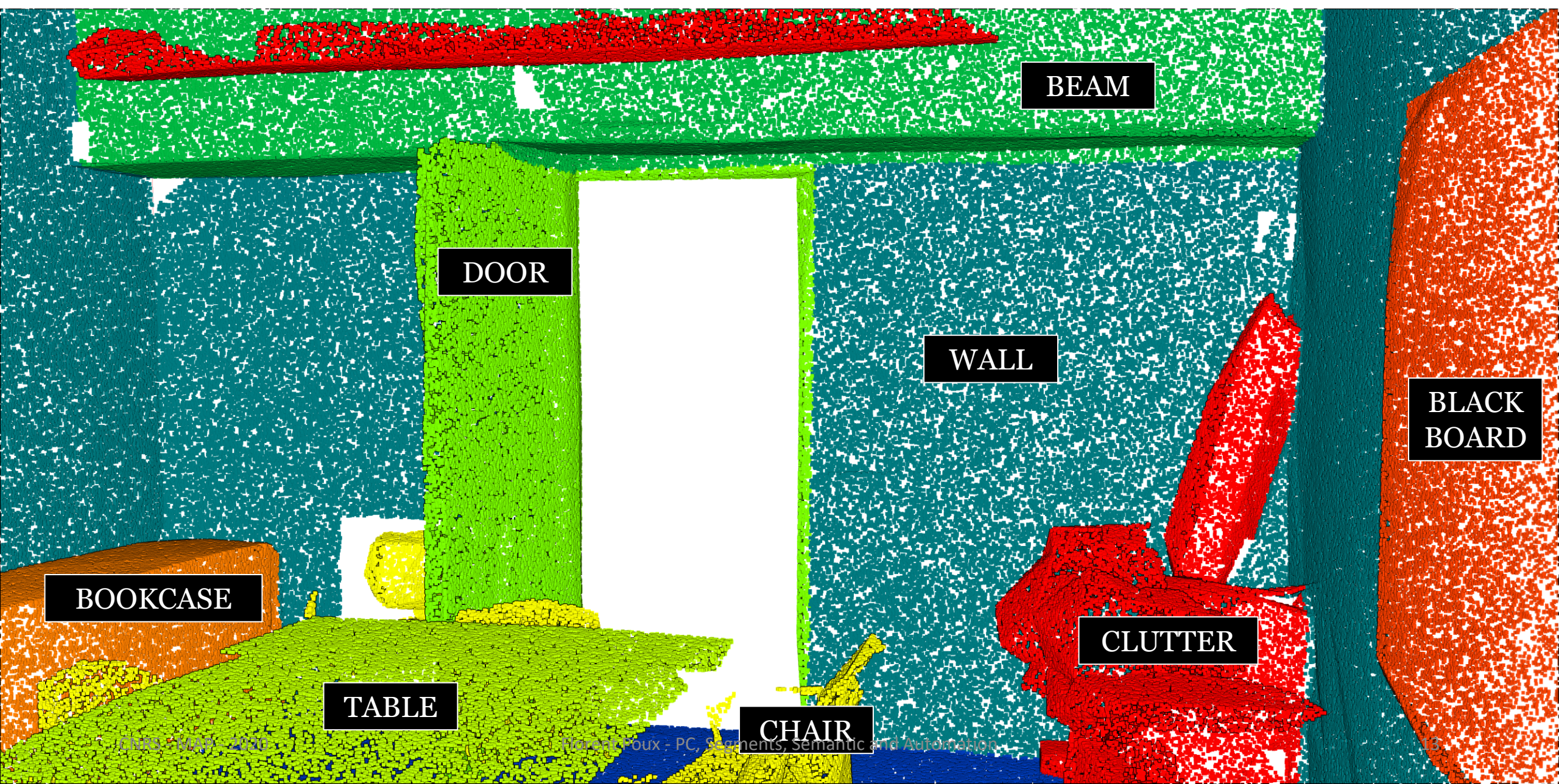
Automation





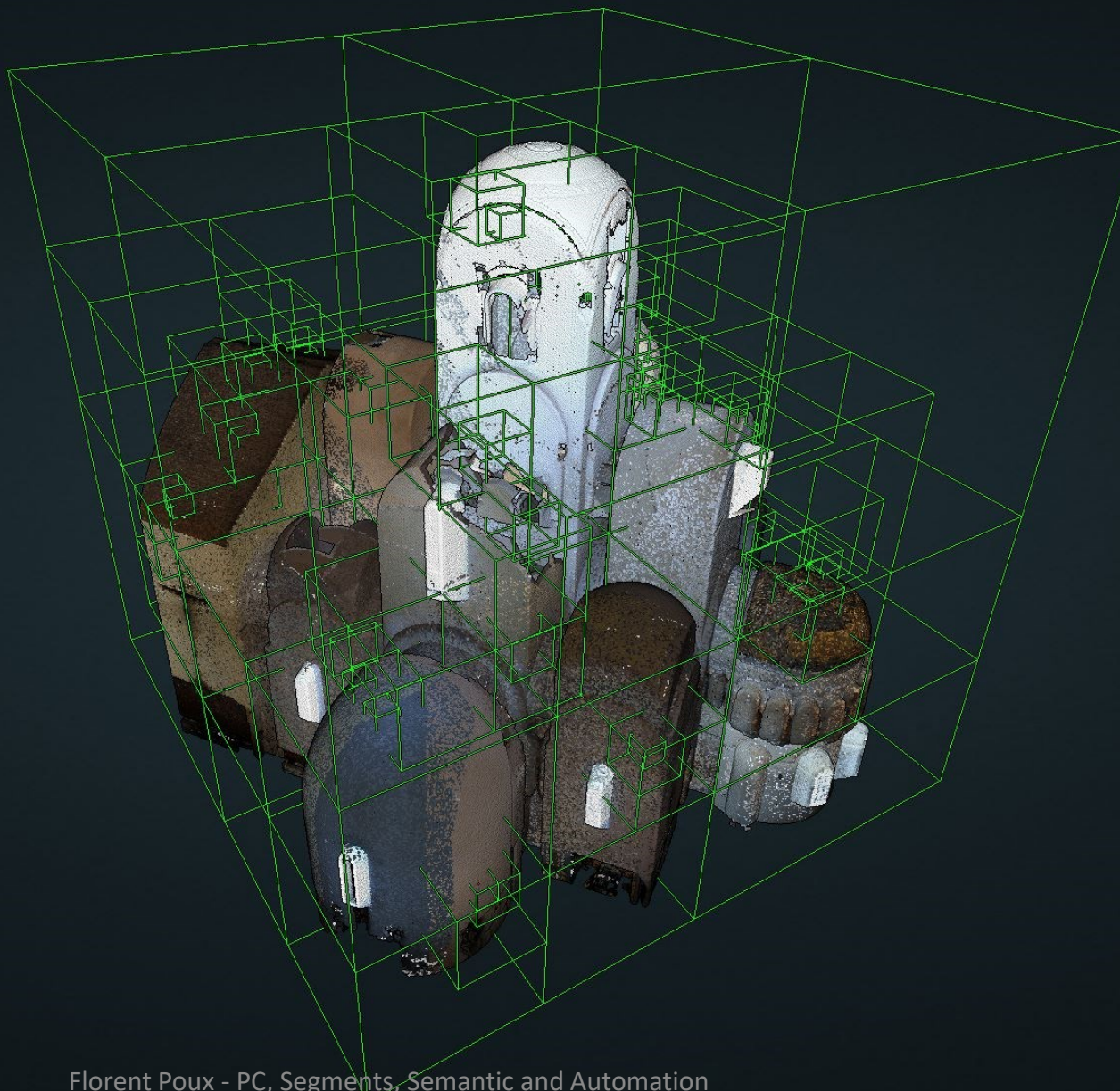








	NRS	MAP	by	2020
1	0002	0003	0004	0005
2	0006	0007	0008	0009
3	0010	0011	0012	0013
4	0014	0015	0016	0017
5	0018	0019	0020	0021
6	0022	0023	0024	0025
7	0026	0027	0028	0029
8	0030	0031	0032	0033
9	0034	0035	0036	0037
10	0038	0039	0040	0041
11	0042	0043	0044	0045
12	0046	0047	0048	0049
13	0050	0051	0052	0053
14	0054	0055	0056	0057
15	0058	0059	0060	0061
16	0062	0063	0064	0065
17	0066	0067	0068	0069
18	0070	0071	0072	0073
19	0074	0075	0076	0077
20	0078	0079	0080	0081
21	0082	0083	0084	0085
22	0086	0087	0088	0089
23	0090	0091	0092	0093
24	0094	0095	0096	0097
25	0098	0099	0100	0101
26	0102	0103	0104	0105
27	0106	0107	0108	0109
28	0110	0111	0112	0113
29	0114	0115	0116	0117
30	0118	0119	0120	0121
31	0122	0123	0124	0125
32	0126	0127	0128	0129
33	0130	0131	0132	0133
34	0134	0135	0136	0137
35	0138	0139	0140	0141
36	0142	0143	0144	0145
37	0146	0147	0148	0149
38	0150	0151	0152	0153
39	0154	0155	0156	0157
40	0158	0159	0160	0161
41	0162	0163	0164	0165
42	0166	0167	0168	0169
43	0170	0171	0172	0173
44	0174	0175	0176	0177
45	0178	0179	0180	0181
46	0182	0183	0184	0185
47	0186	0187	0188	0189
48	0190	0191	0192	0193
49	0194	0195	0196	0197
50	0198	0199	0200	0201
51	0202	0203	0204	0205
52	0206	0207	0208	0209
53	0210	0211	0212	0213
54	0214	0215	0216	0217
55	0218	0219	0220	0221
56	0222	0223	0224	0225
57	0226	0227	0228	0229
58	0230	0231	0232	0233
59	0234	0235	0236	0237
60	0238	0239	0240	0241
61	0242	0243	0244	0245
62	0246	0247	0248	0249
63	0250	0251	0252	0253
64	0254	0255	0256	0257
65	0258	0259	0260	0261
66	0262	0263	0264	0265
67	0266	0267	0268	0269
68	0270	0271	0272	0273
69	0274	0275	0276	0277
70	0278	0279	0280	0281
71	0282	0283	0284	0285
72	0286	0287	0288	0289
73	0290	0291	0292	0293
74	0294	0295	0296	0297
75	0298	0299	0300	0301
76	0302	0303	0304	0305
77	0306	0307	0308	0309
78	0310	0311	0312	0313
79	0314	0315	0316	0317
80	0318	0319	0320	0321
81	0322	0323	0324	0325
82	0326	0327	0328	0329
83	0330	0331	0332	0333
84	0334	0335	0336	0337
85	0338	0339	0340	0341
86	0342	0343	0344	0345
87	0346	0347	0348	0349
88	0350	0351	0352	0353
89	0354	0355	0356	0357
90	0358	0359	0360	0361
91	0362	0363	0364	0365
92	0366	0367	0368	0369
93	0370	0371	0372	0373
94	0374	0375	0376	0377
95	0378	0379	0380	0381
96	0382	0383	0384	0385
97	0386	0387	0388	0389
98	0390	0391	0392	0393
99	0394	0395	0396	0397
100	0398	0399	0400	0401

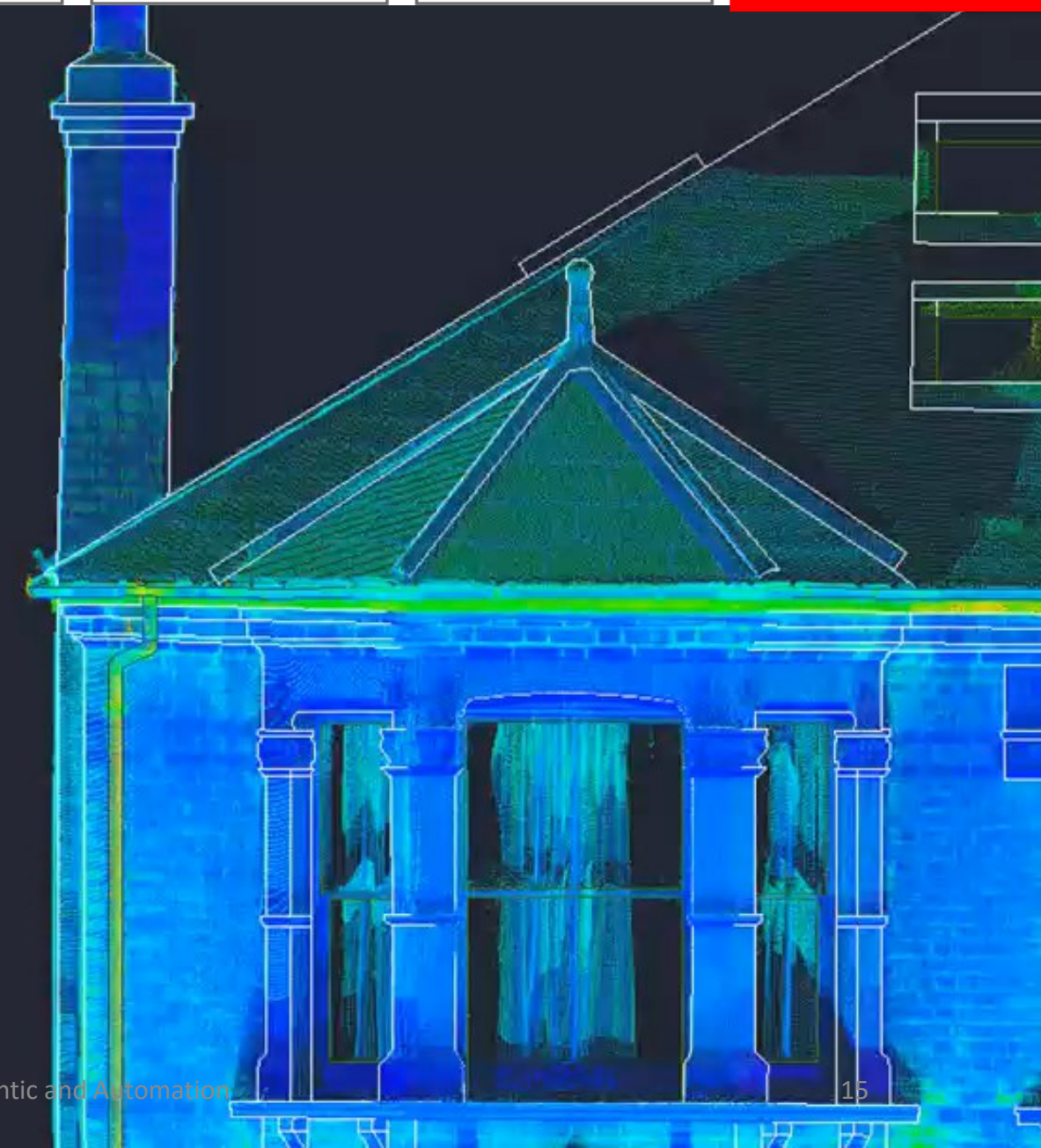


Florent Poux - PC, Segments, Semantic and Automation



CNRS - MAP - 2020

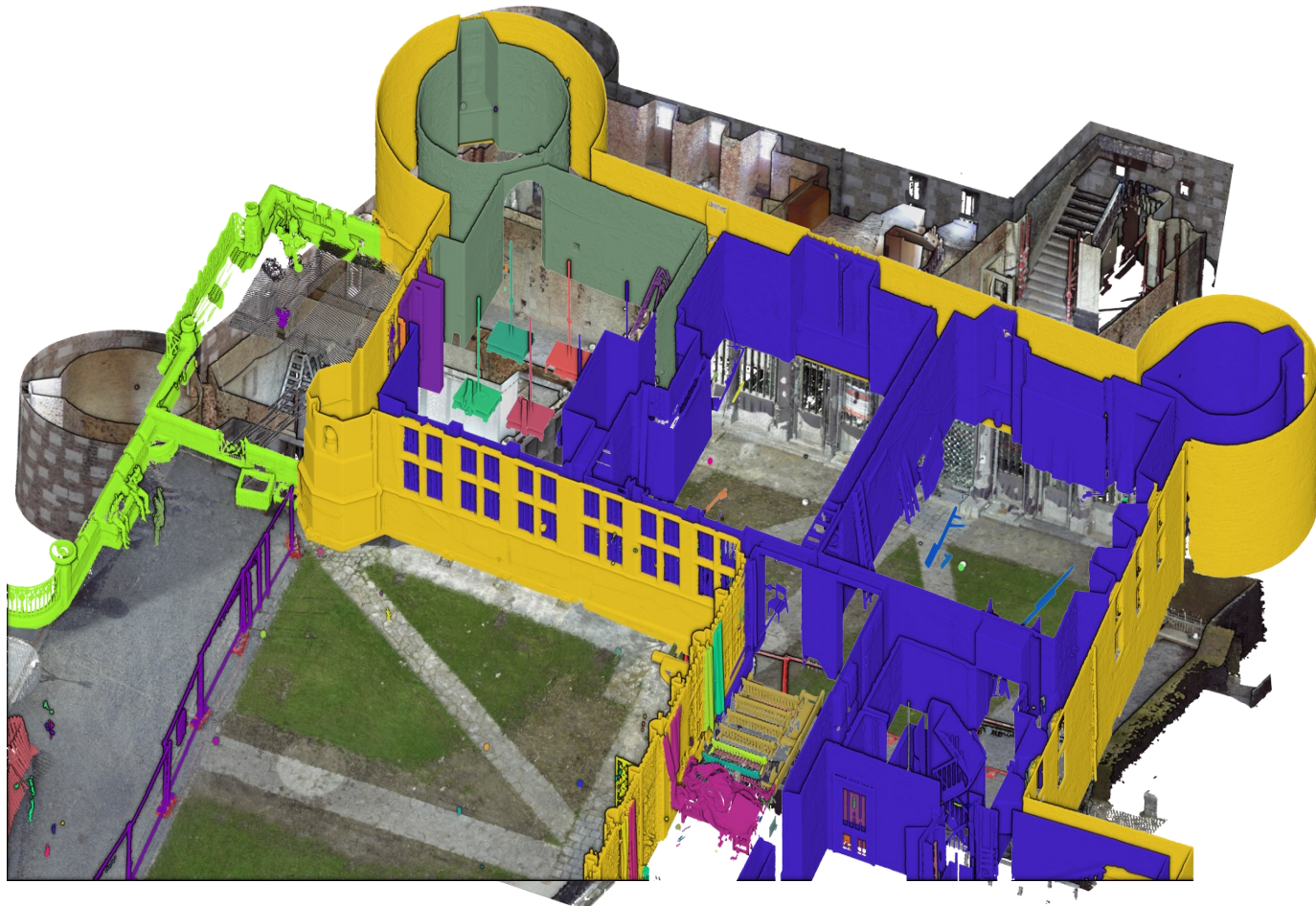
Florent Poux - PC, Segments, Semantic and Automation



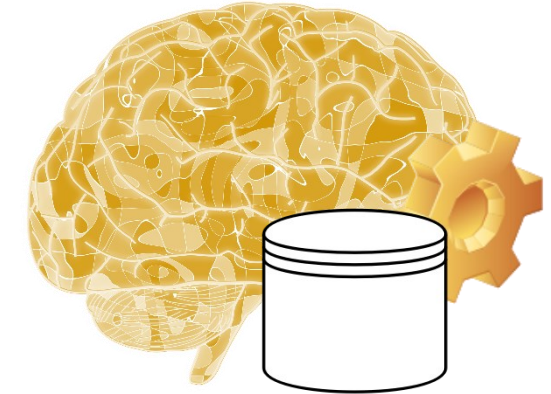
15

- 3D Point Cloud Specificities
- Representation & Structuration
- Automation

Semantics & Knowledge Integration



TODAY
↔
WHAT WE WANT

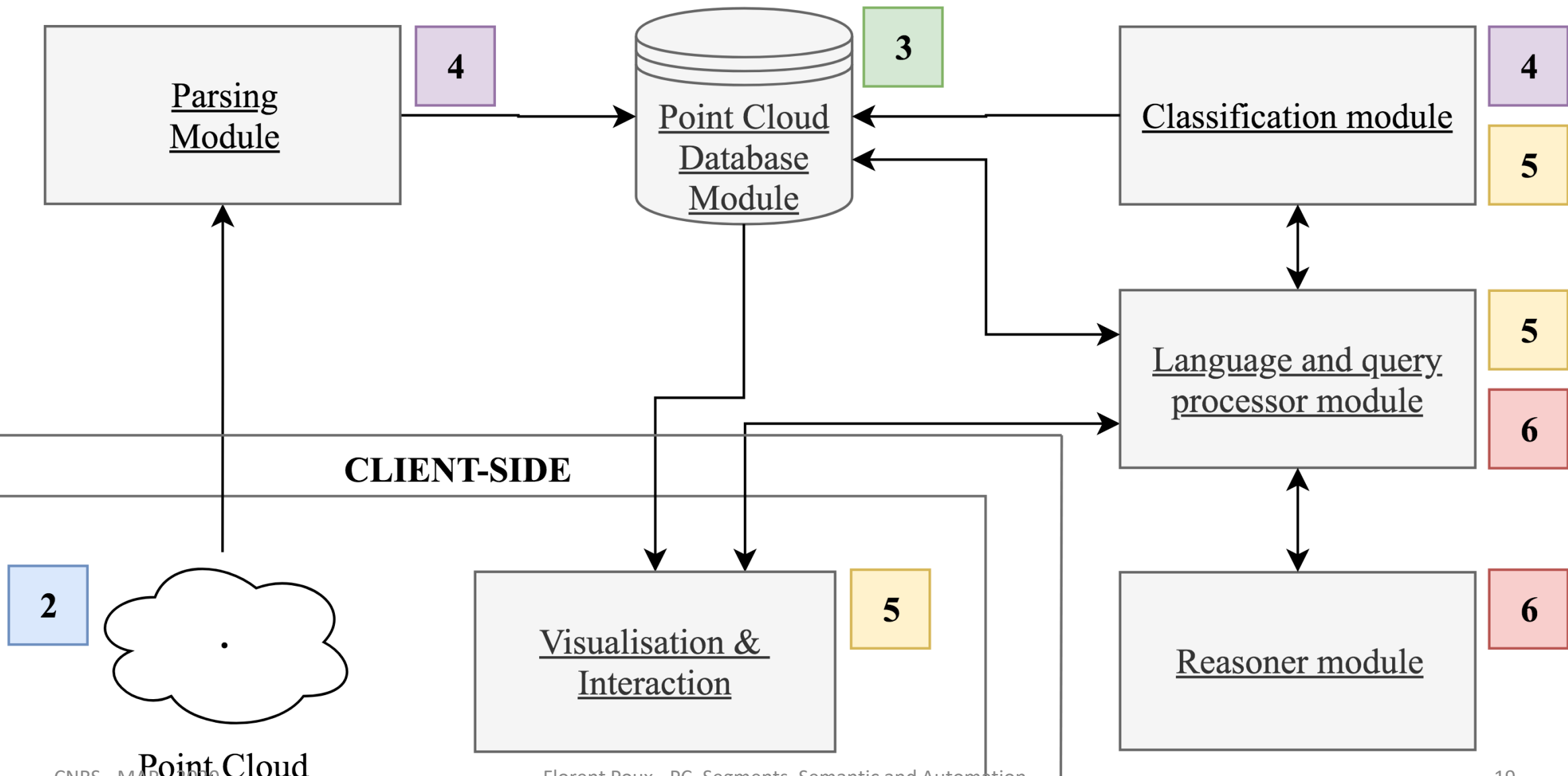


KNOWLEDGE

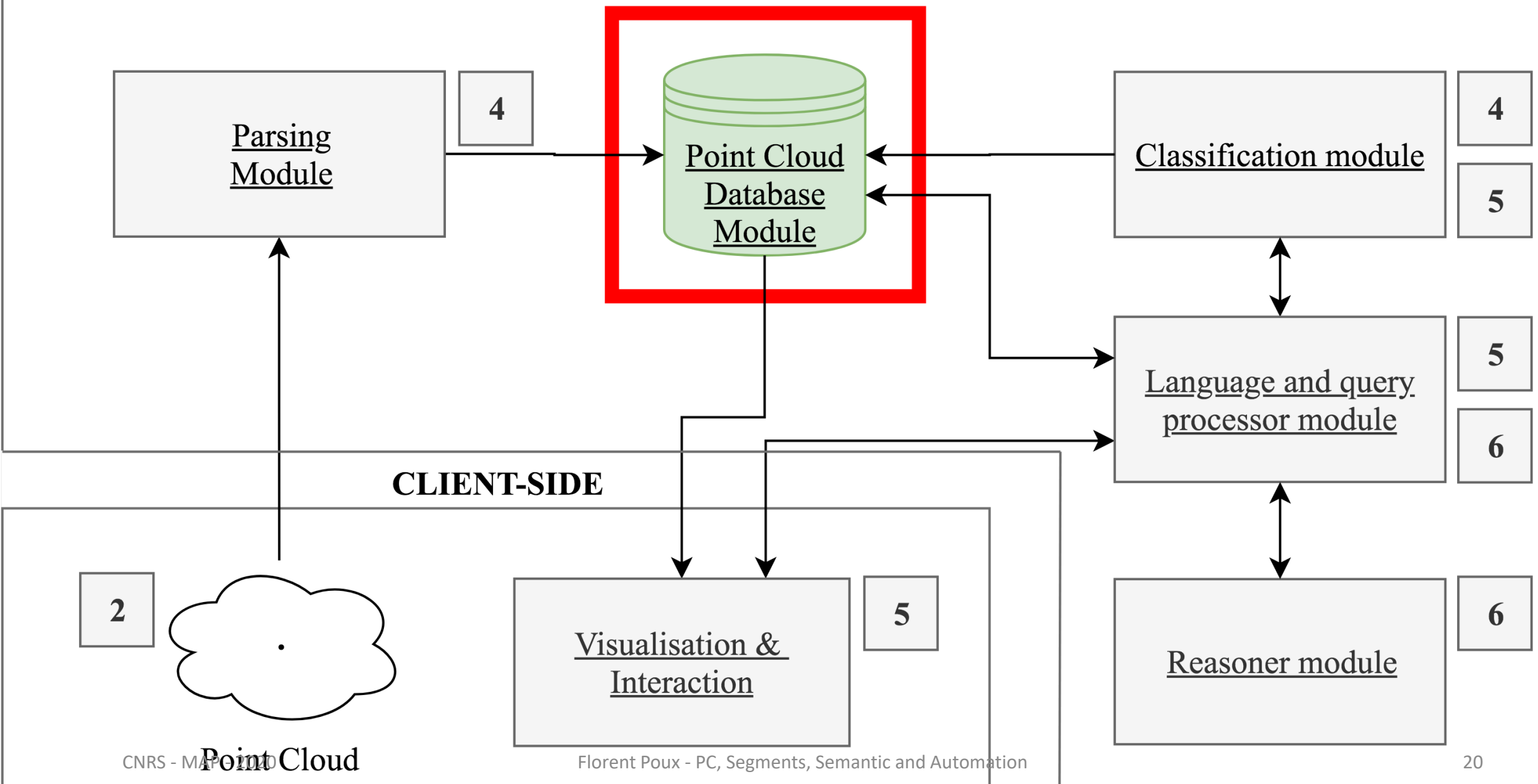
DELIVERY PARADIGM
EXTRAGETION based on
SIMRehsding, ...



How to extract and integrate knowledge within 3D point clouds for autonomous decision-making systems?

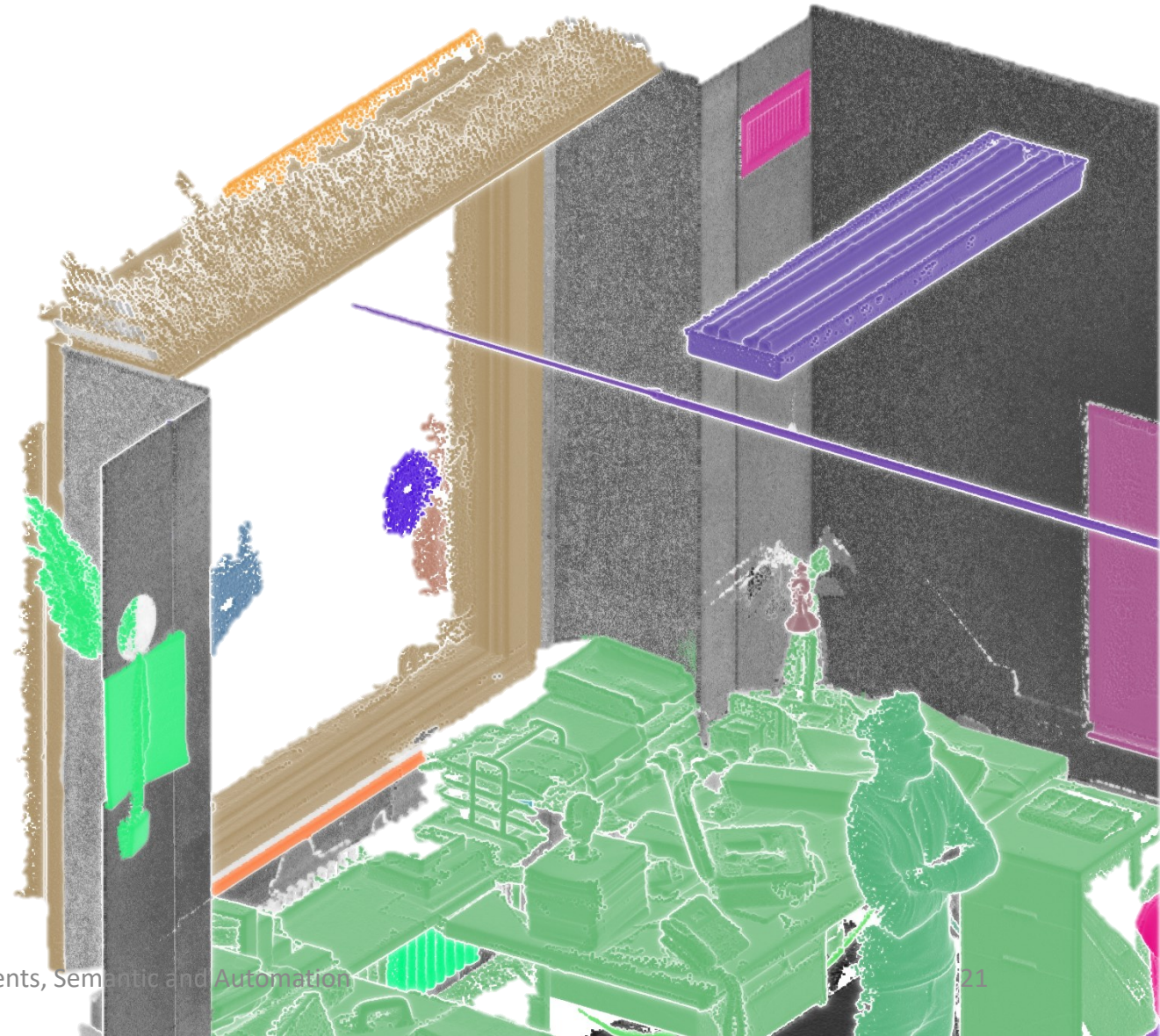
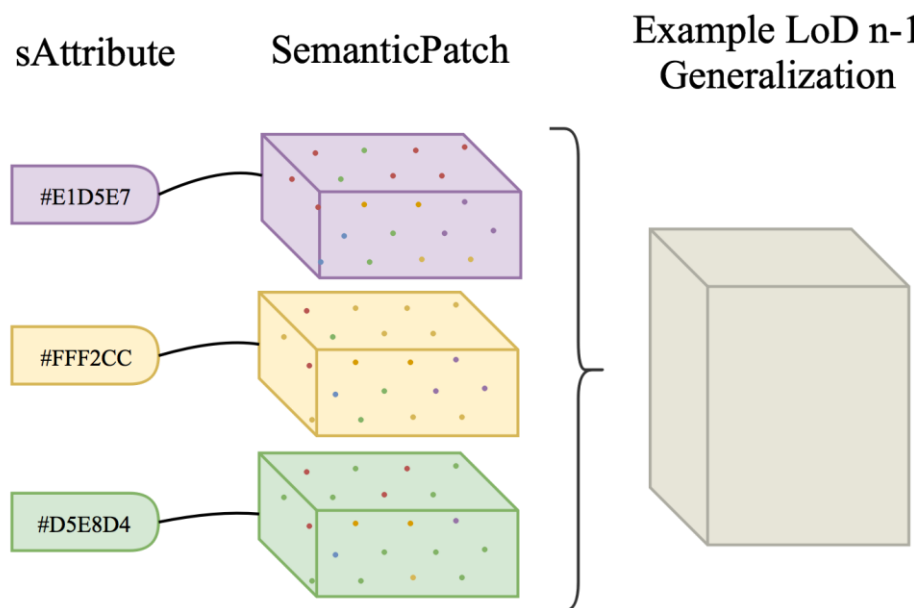


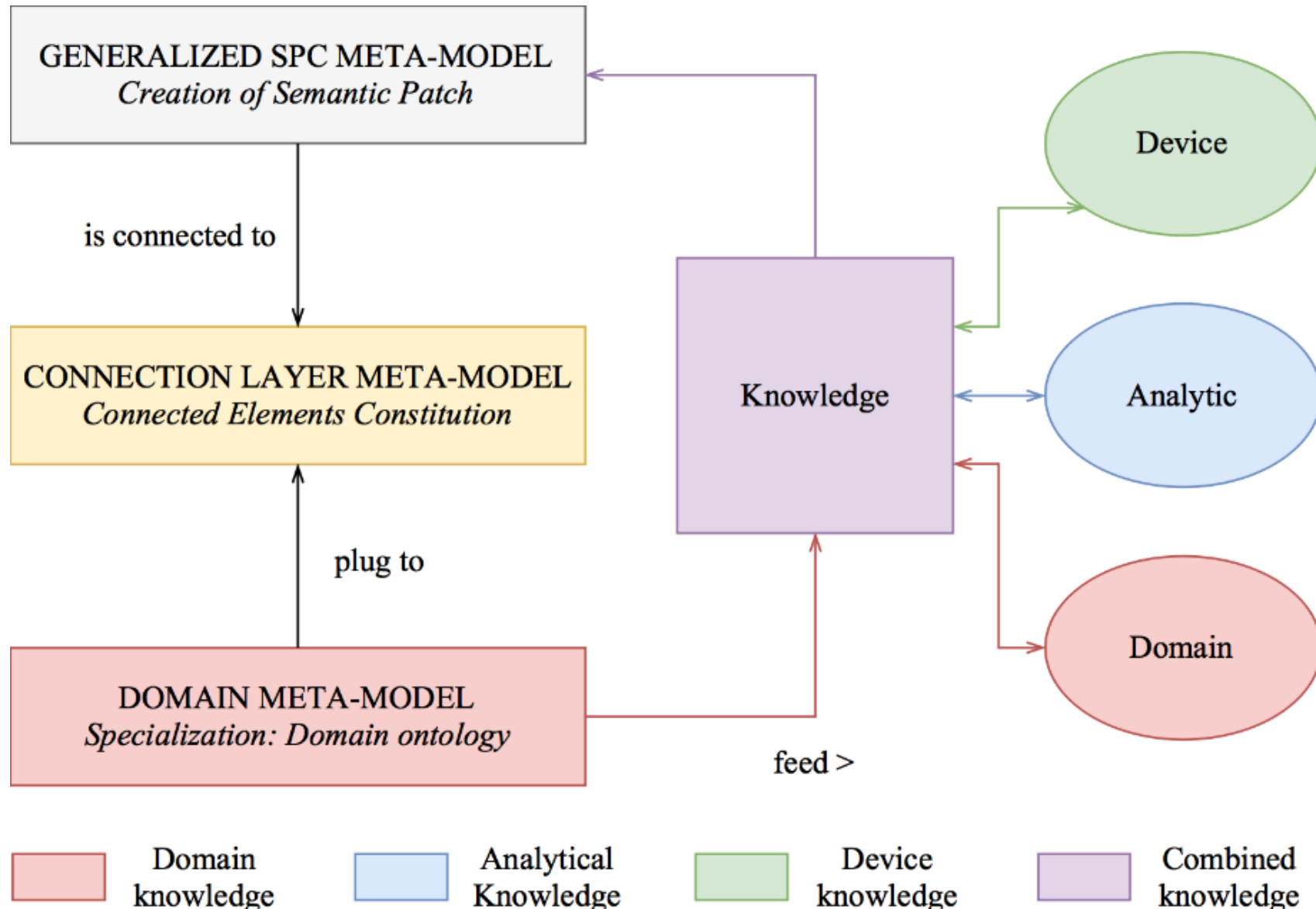
SERVER-SIDE



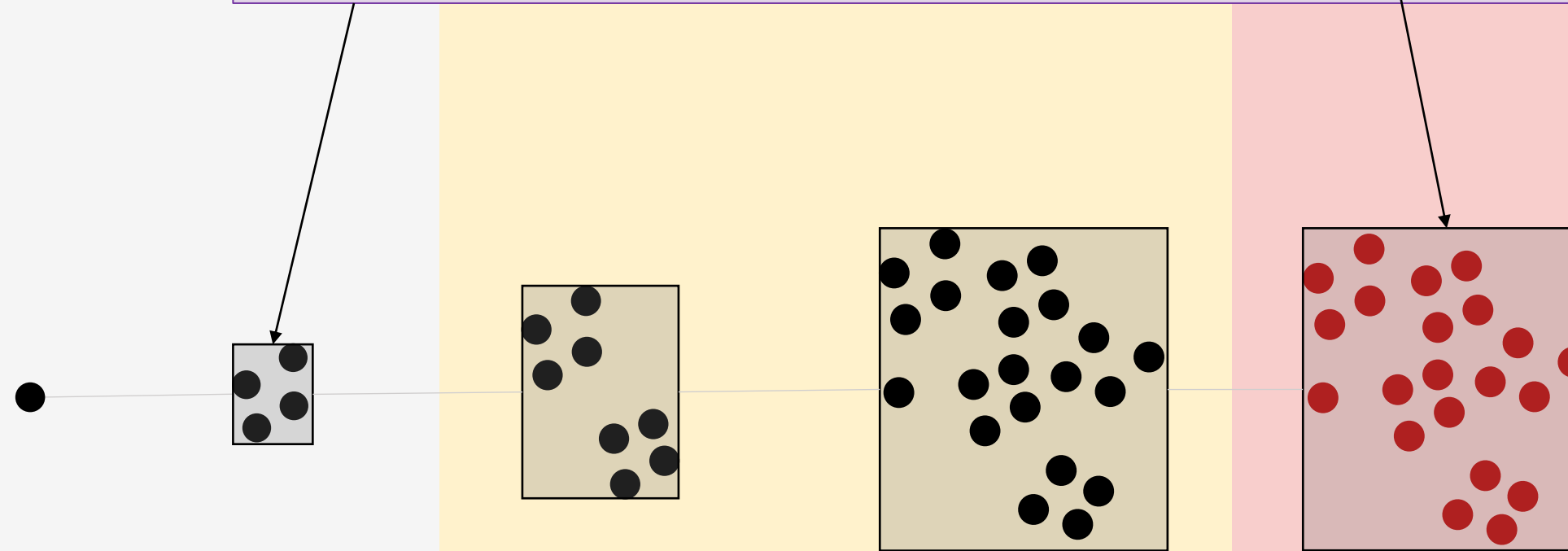
Point Cloud Specificity

*Unstructured and too sparse
for DBMS per-row insertion*





Knowledge



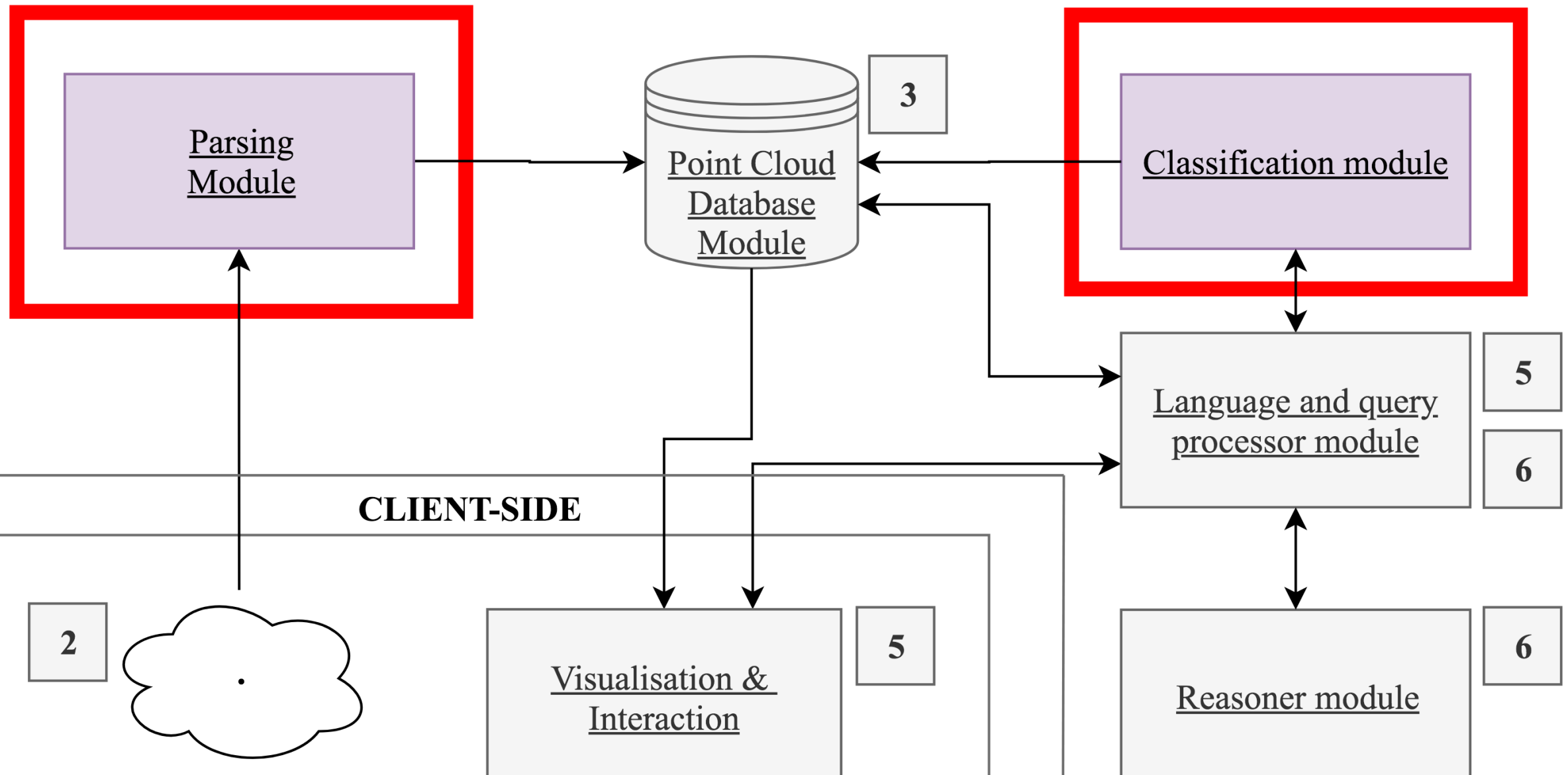
Point Semantic
Patch

Connected
Element

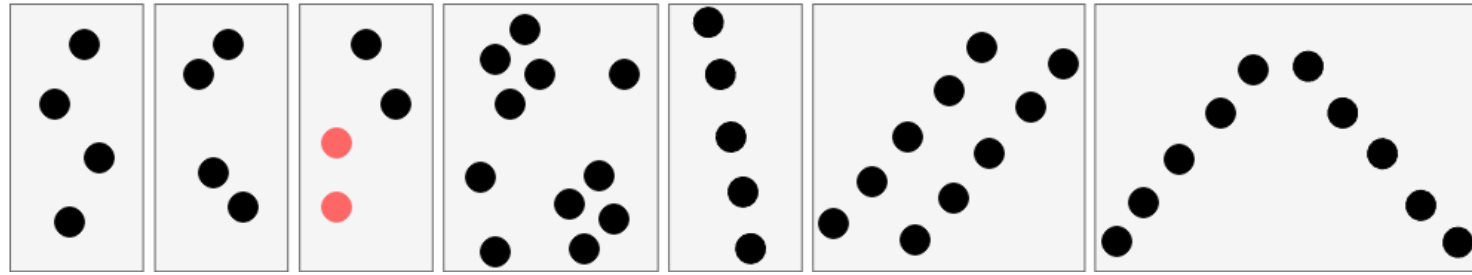
Aggregated
Element

Class
Instance

SERVER-SIDE



Gestalt's theory



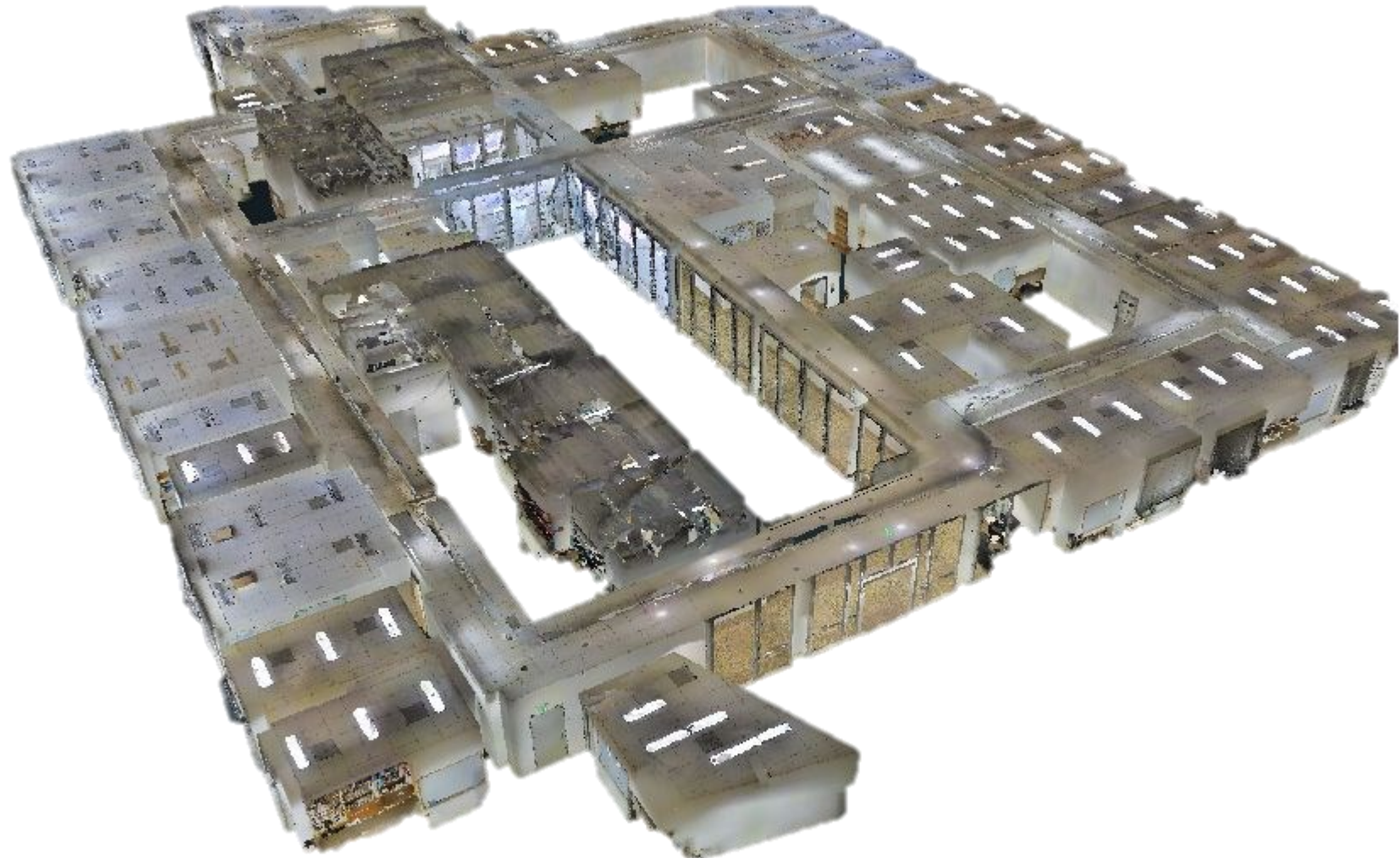
Visual patterns on points



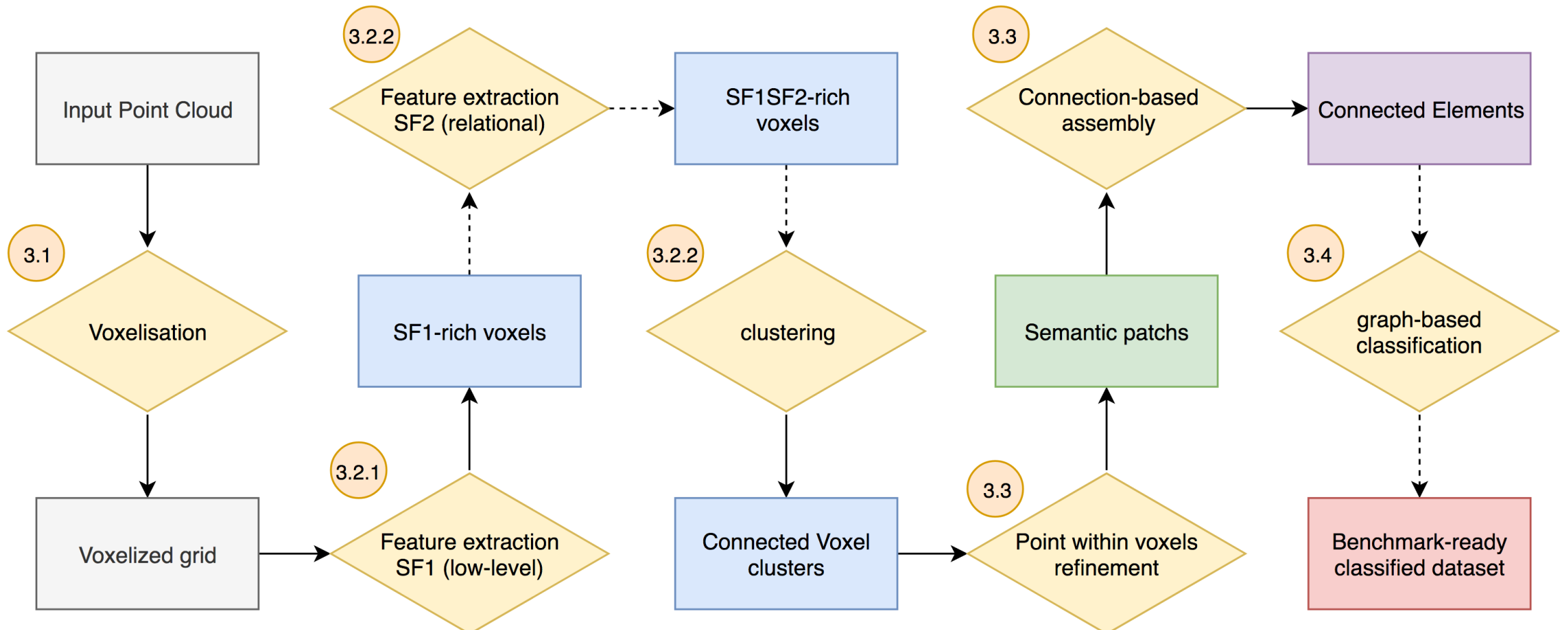
Deep learning > feature-engineering

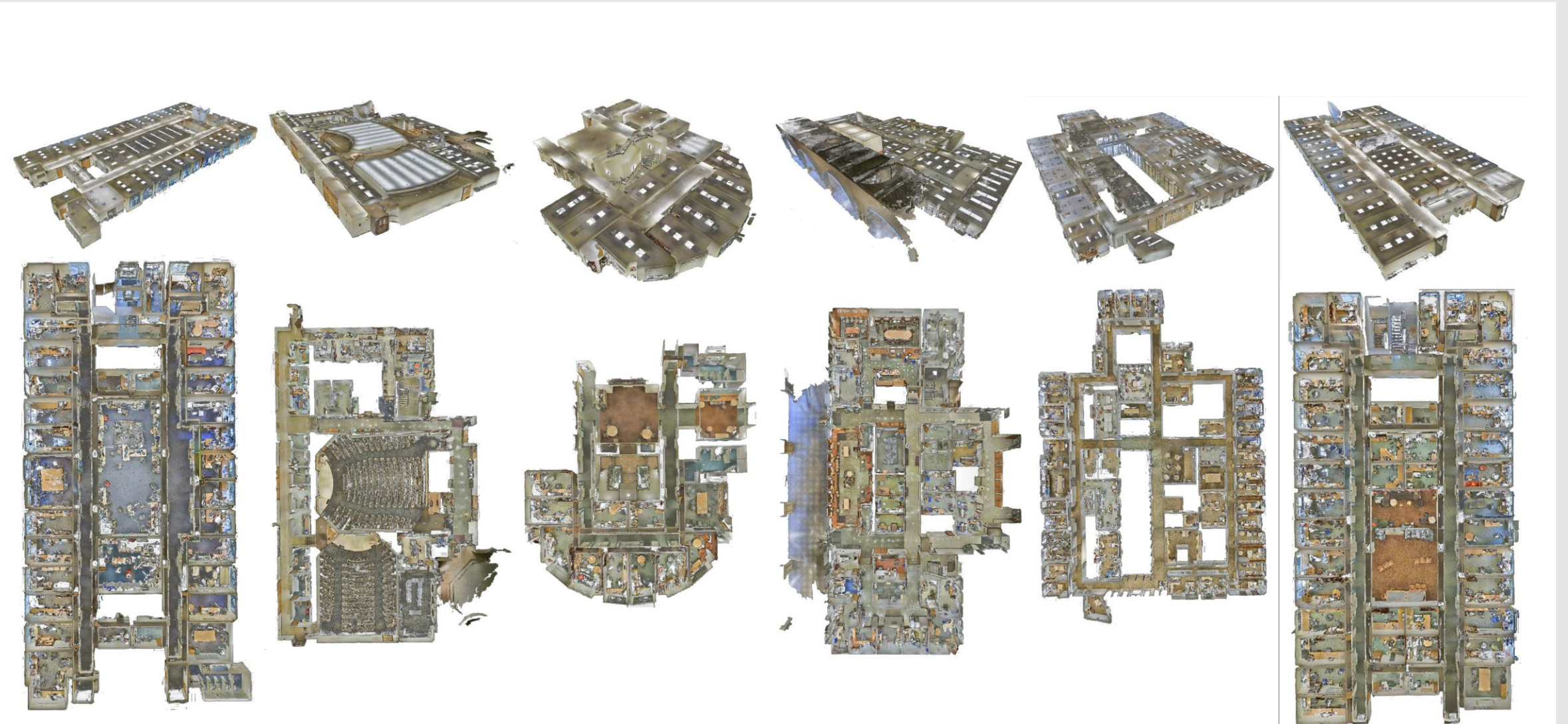
Visual patterns on points

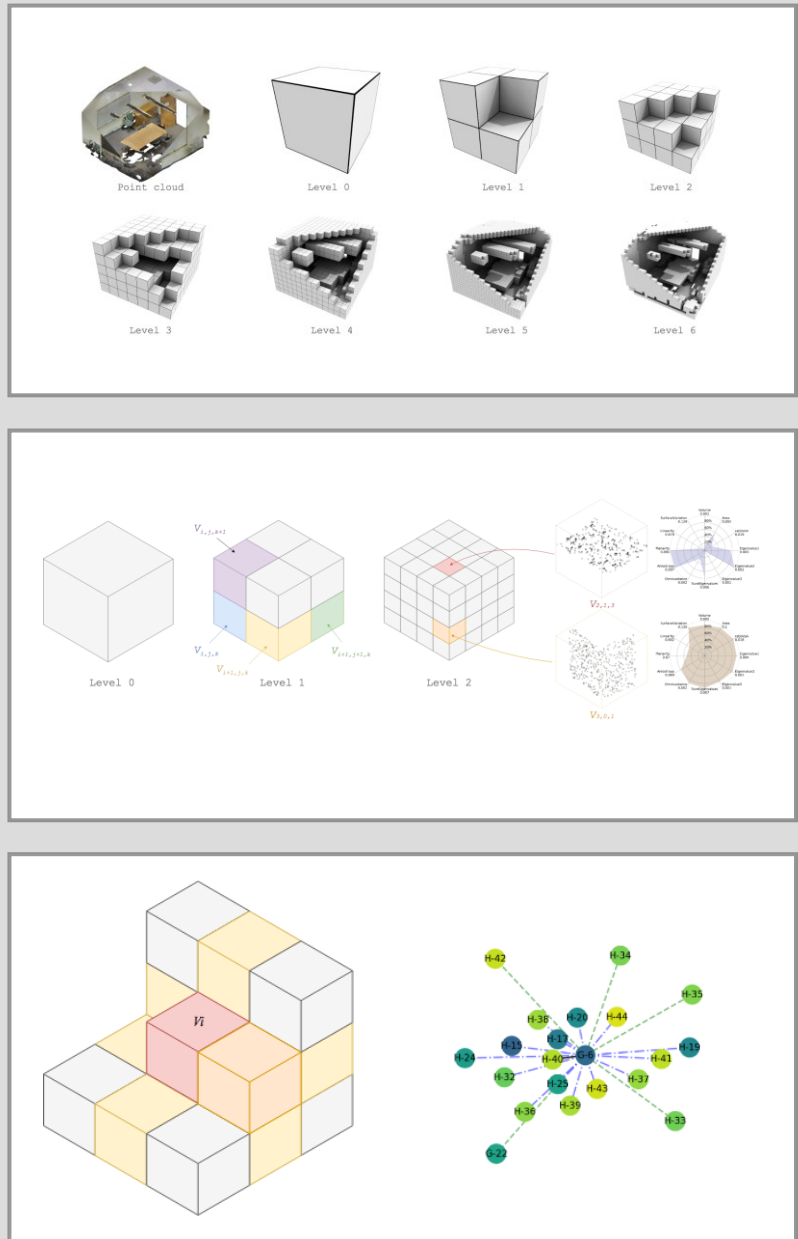
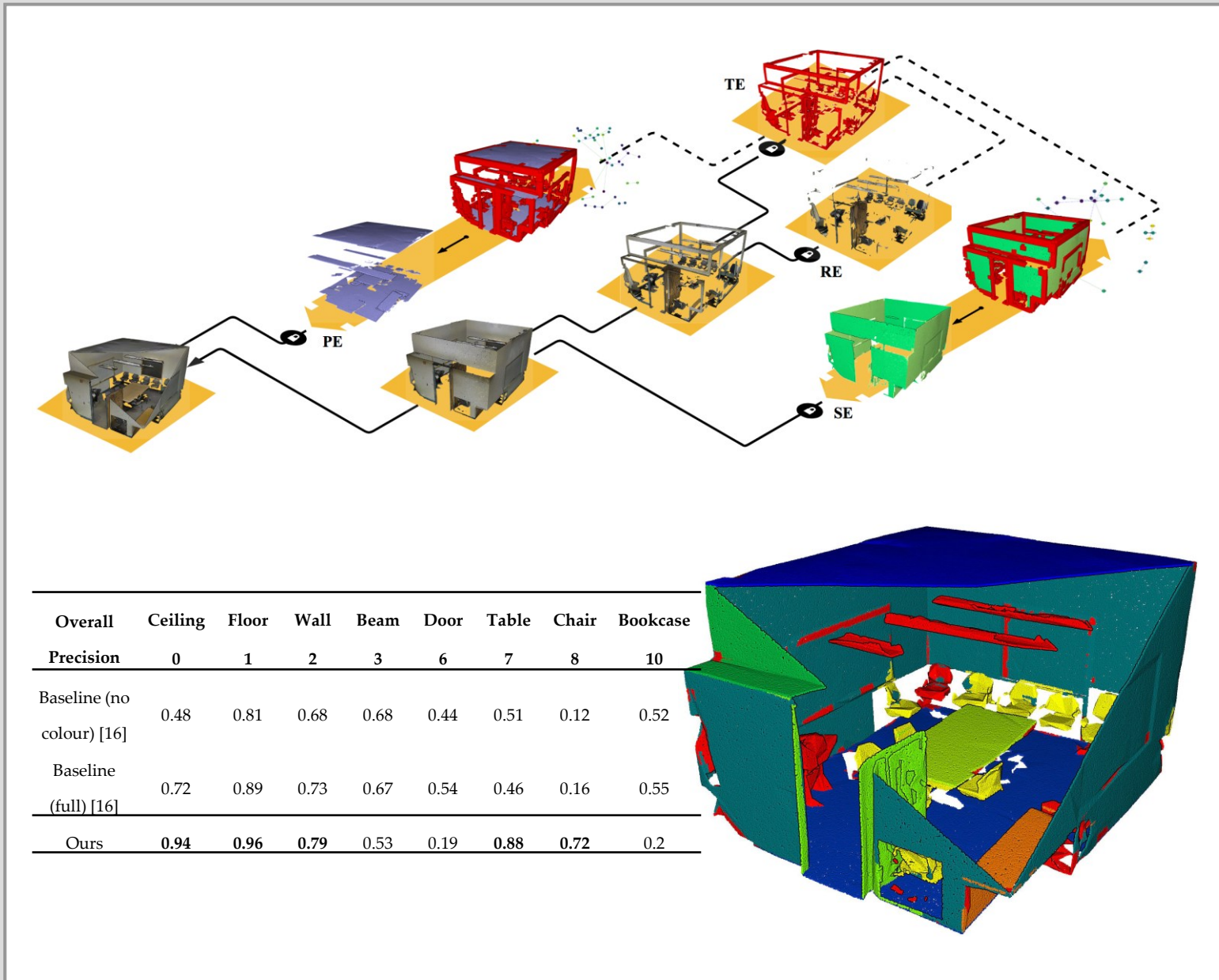
Point Cloud Datasets



Deep learning < feature-engineering





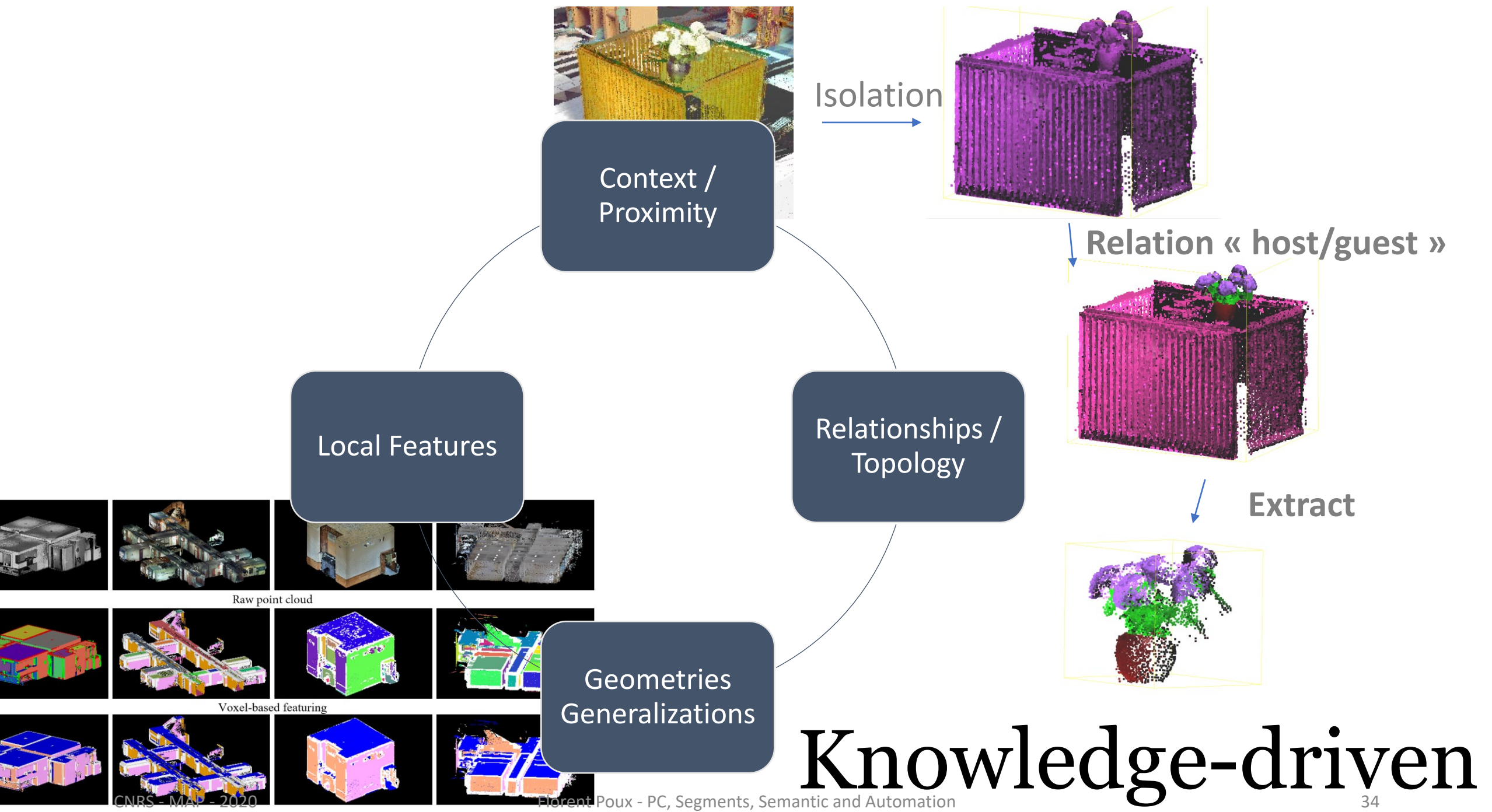


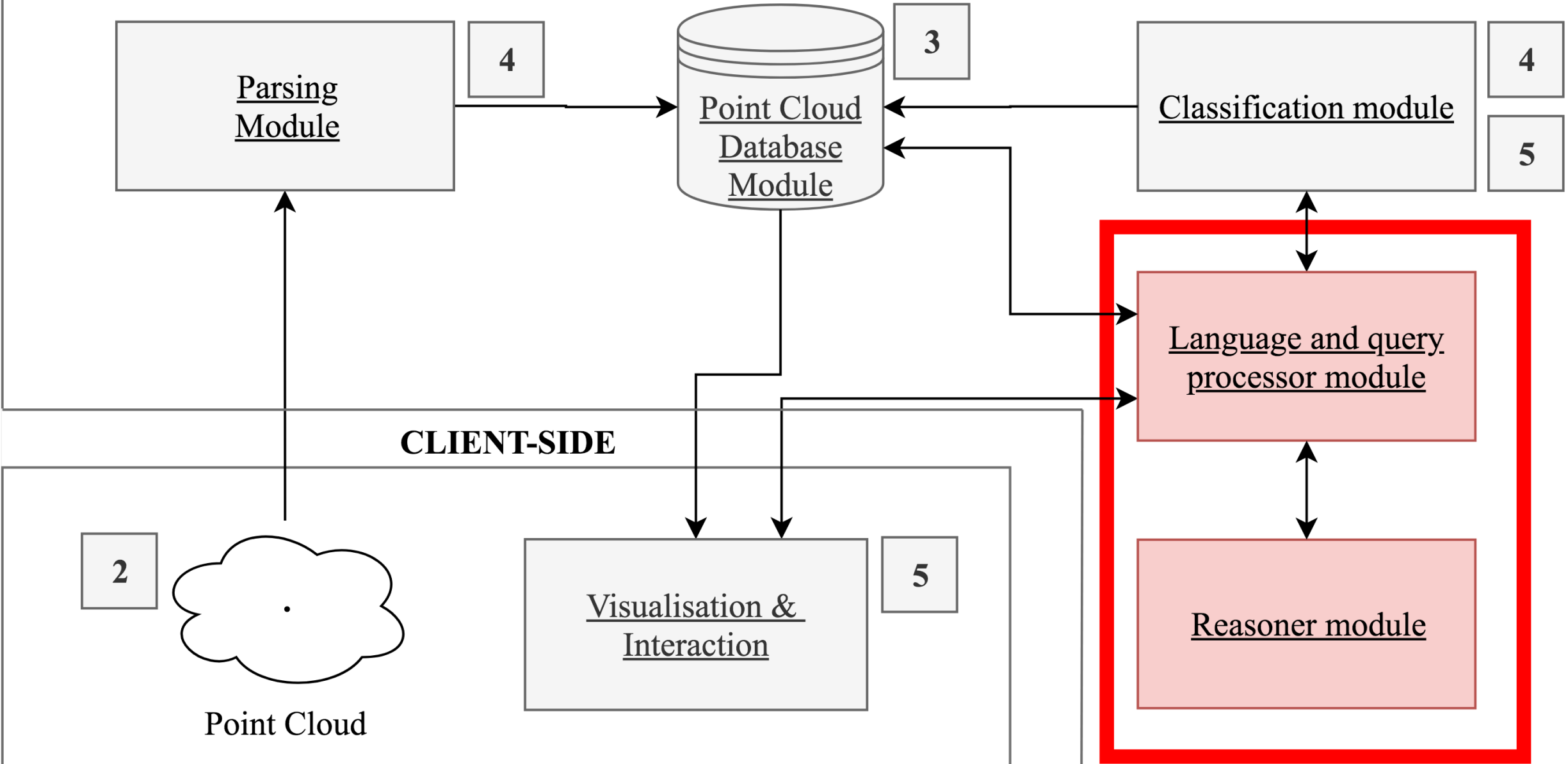


10 million points / minute

Overall	Ceiling	Floor	Wall	Beam	Door	Table	Chair	Bookcase
Precision	0	1	2	3	6	7	8	10
Baseline (no colour) [16]	0.48	0.81	0.68	0.68	0.44	0.51	0.12	0.52
Baseline (full) [16]	0.72	0.89	0.73	0.67	0.54	0.46	0.16	0.55
Ours	0.94	0.96	0.79	0.53	0.19	0.88	0.72	0.2









A classified entity



chair



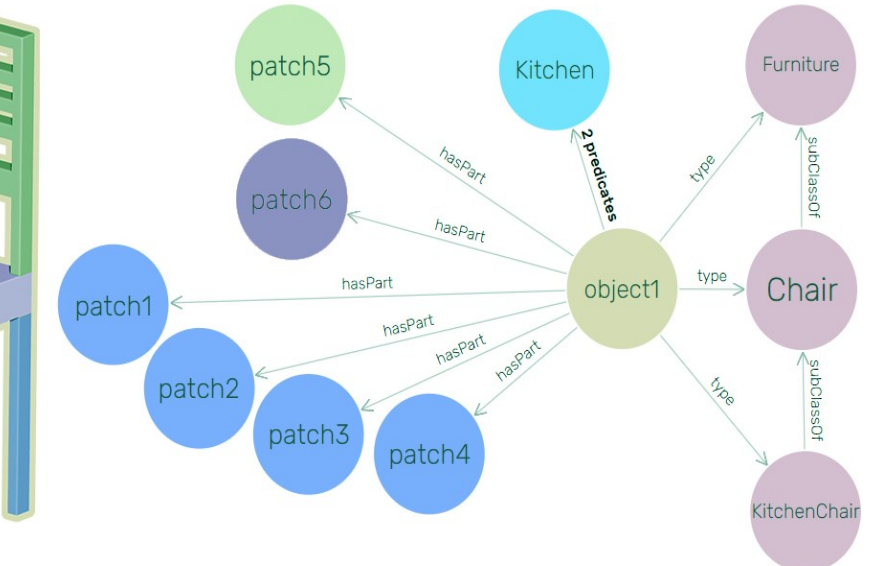
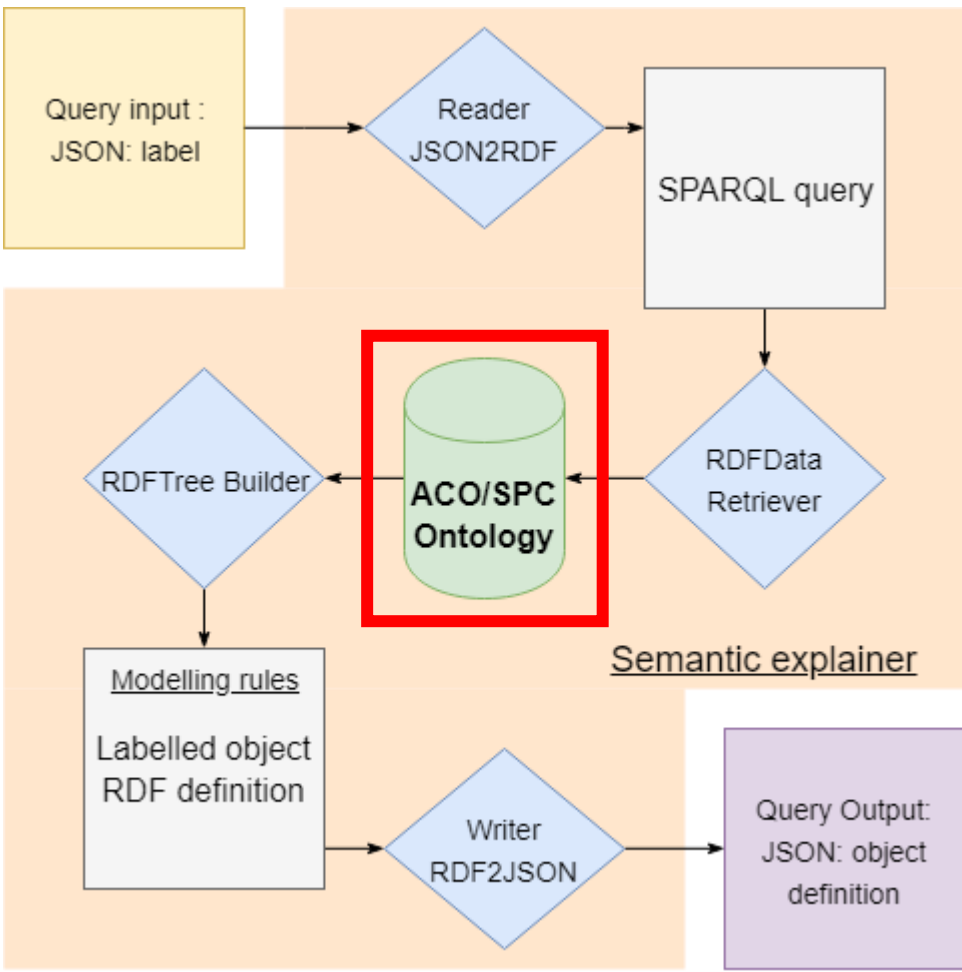
DBpedia [Browse using](#) [Formats](#) [Faceted Browser](#) [Sparql Endpoint](#)

About: Chaise

An Entity of Type : [œuvre musicale](#), from Named Graph : <http://dbpedia.org>, within Data Space : [dbpedia.org](#)

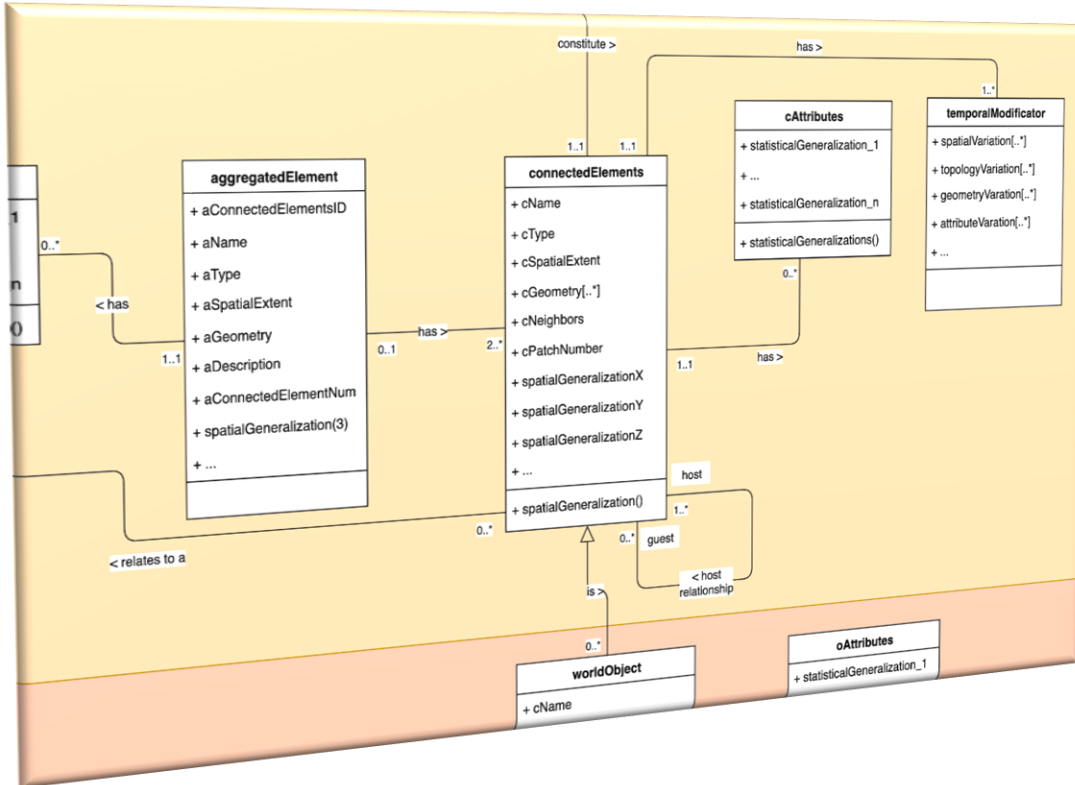
Une chaise est un type de siège, c'est-à-dire de meuble muni d'un dossier et destiné à ce qu'une personne s'assoie dessus. Un siège pour une personne sans dossier ni repose-bras est un tabouret ; pour plus d'une personne c'est un sofa ou un banc. Un repose-pieds séparé pour une chaise s'appelle un ottoman. La chaise comporte : * un piétement, généralement composé de quatre pieds, parfois renforcé par une entretoise ; * une assise, la profondeur d'assise d'une chaise est comprise entre 45 et 55 cm, et sa hauteur est normalement de 45 cm ; * un dossier.

Property	Value
dbo:abstract	<ul style="list-style-type: none">A chair is a piece of furniture with a raised surface, commonly used to seat a single person. Chairs are supported most often by four legs and have a back; however, a chair can have three legs or can have a different shape. Chairs are made of a wide variety of materials, ranging from wood to metal to synthetic material (e.g., plastic), and they may be padded or upholstered in various colors and fabrics, either just on the seat (as with some dining room chairs) or on the entire chair. Chairs are used in a number of rooms in homes (e.g., in living rooms, dining rooms and dens), in schools and offices (with desks), and in various other workplaces. A chair without a back or arm rests is a stool, or when raised up, a bar stool. A chair with arms is an armchair and with upholstery, reclining action, and a fold-out footrest, a recliner. A permanently fixed chair in a train or theater is a seat or, in an airplane, airline seat; when riding, it is a saddle and bicycle saddle, and for an automobile, a car seat or infant car seat. With wheels it is a wheelchair and when hung from above, a swing. An upholstered, padded chair for more than one person is a couch, sofa, settee, or "loveseat"; or if it is not upholstered, a bench. A separate footrest for a chair, usually upholstered, is known as an ottoman, hassock or pouffe. (en)Une chaise est un type de siège, c'est-à-dire de meuble muni d'un dossier et destiné à ce qu'une personne s'assoie dessus. Un siège pour une personne sans dossier ni repose-bras est un tabouret ; pour plus d'une personne c'est un sofa ou un banc. Un repose-pieds séparé pour une chaise s'appelle un ottoman. Le dossier s'élève parfois au-dessus de la hauteur de la tête, et souvent ne s'étend pas jusqu'au siège, permettant une circulation d'air. Le dossier et parfois l'assise sont souvent faits de matériaux poreux ou sont ajourés à fin de décoration et de ventilation. Il y a quelquefois des repose-têtes séparés. La chaise comporte : * un piétement, généralement composé de quatre pieds, parfois renforcé par une entretoise ; * une assise, la profondeur d'assise d'une chaise est comprise entre 45 et 55 cm, et sa hauteur est normalement de 45 cm ; * un dossier. Elle ne comprend que très rarement des accotoirs (bras) réservés aux fauteuils, mais elle peut comporter un accoudoir sur le haut du dossier comme pour le Prie-Dieu ou la chaise penteuse. (fr)
dbo:thumbnail	wiki-commons:SpecialFilePath/PostureFoundationGarments05fig3.png?width=300
dbo:wikiPageID	262642 (xsd:integer)
dbo:wikiPageRevisionID	744995471 (xsd:integer)
dct:subject	dbc:Chairs



Connected Elements

- Aggregated-Element
- Normal-Element
- Sub-Element

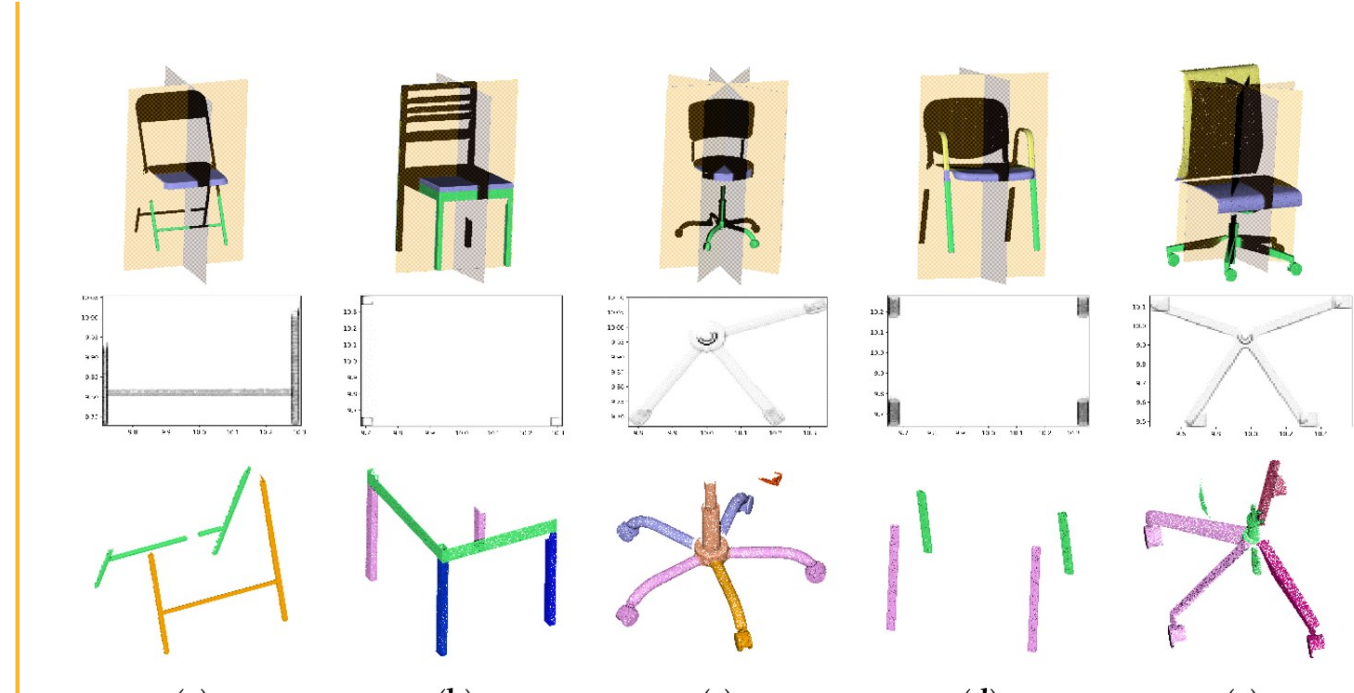
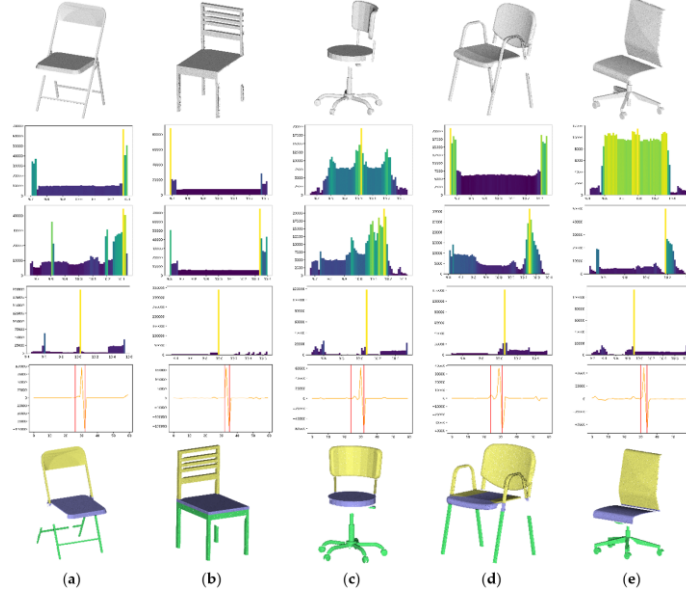




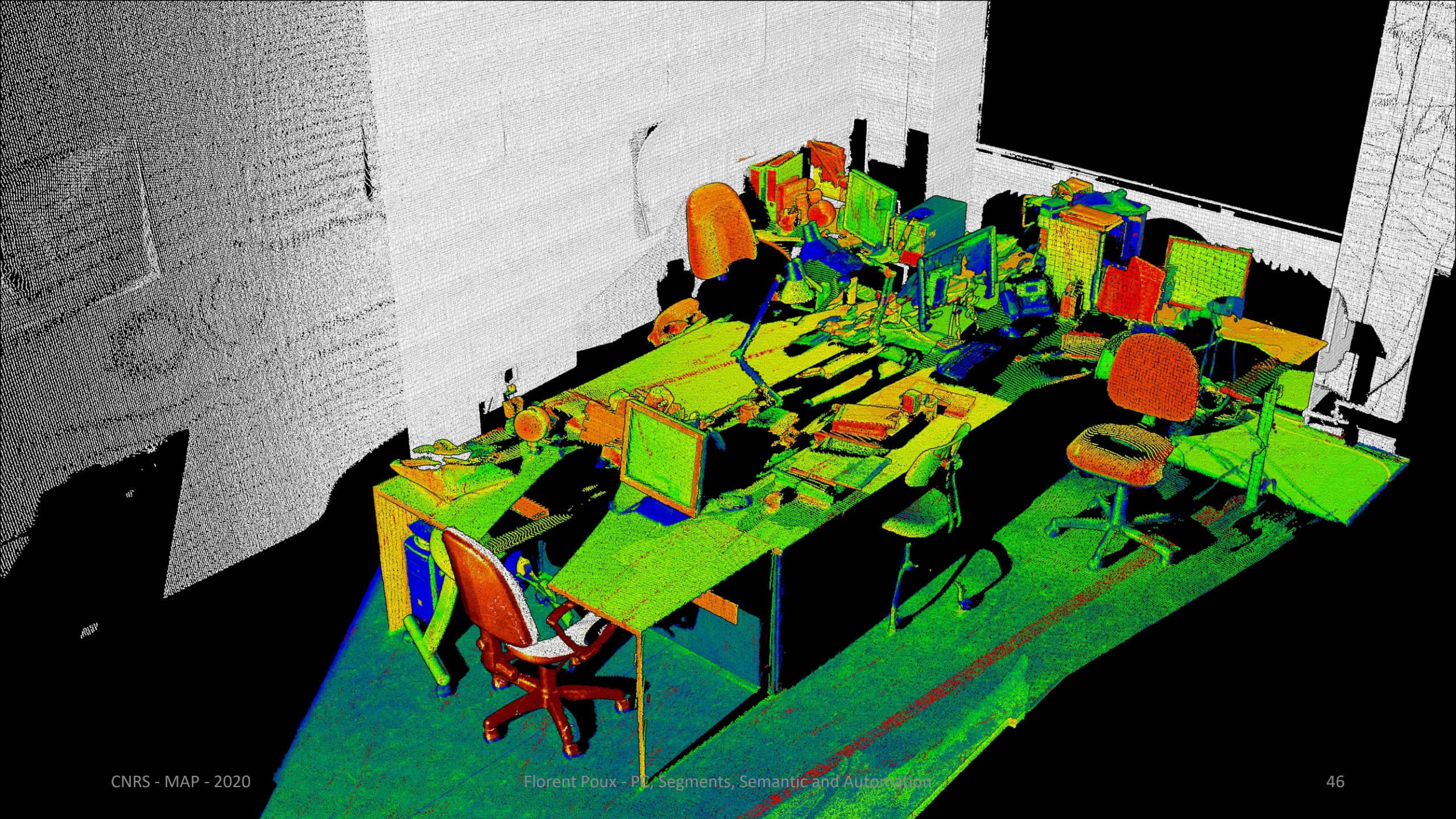
Chair = AE

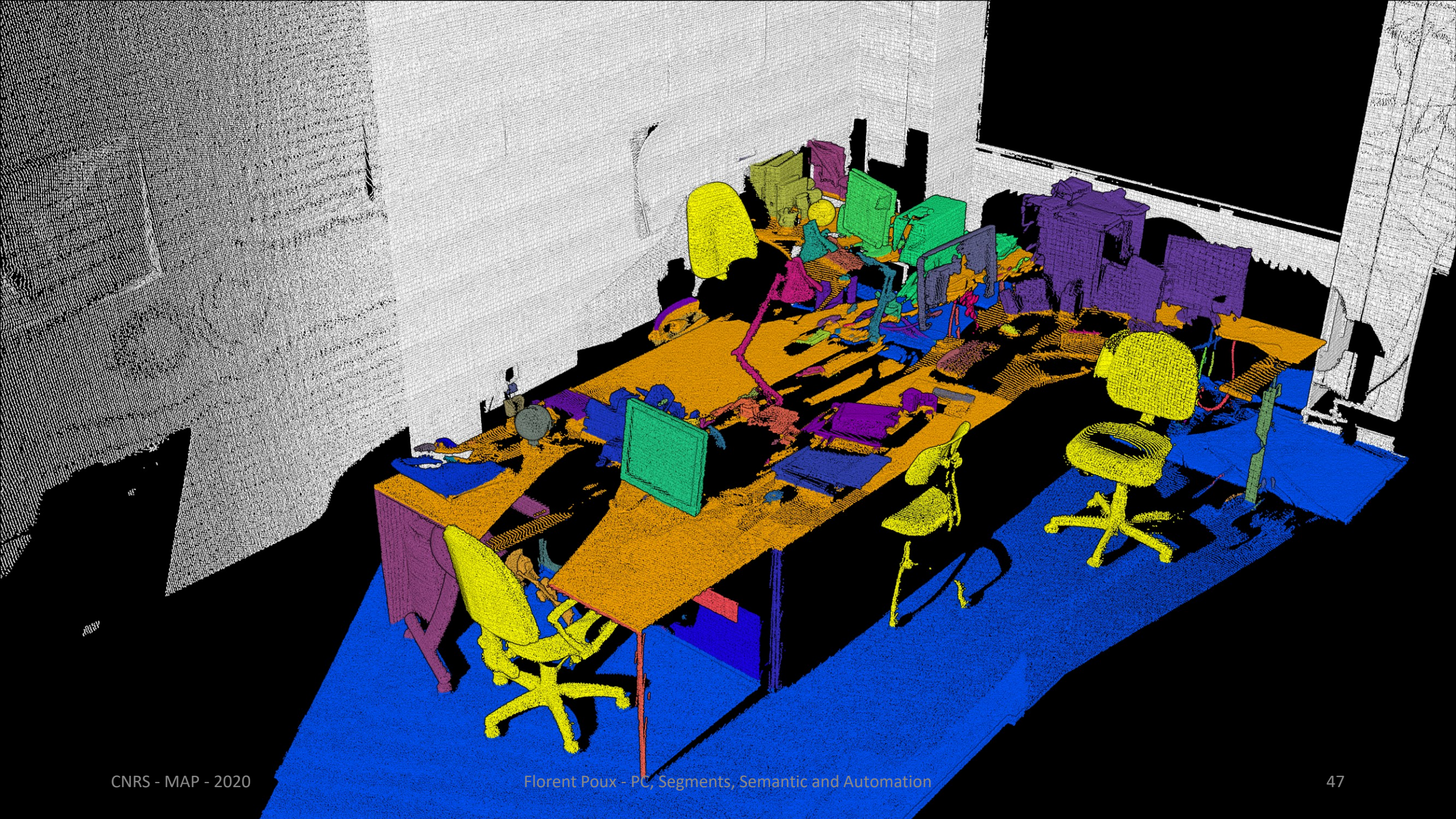


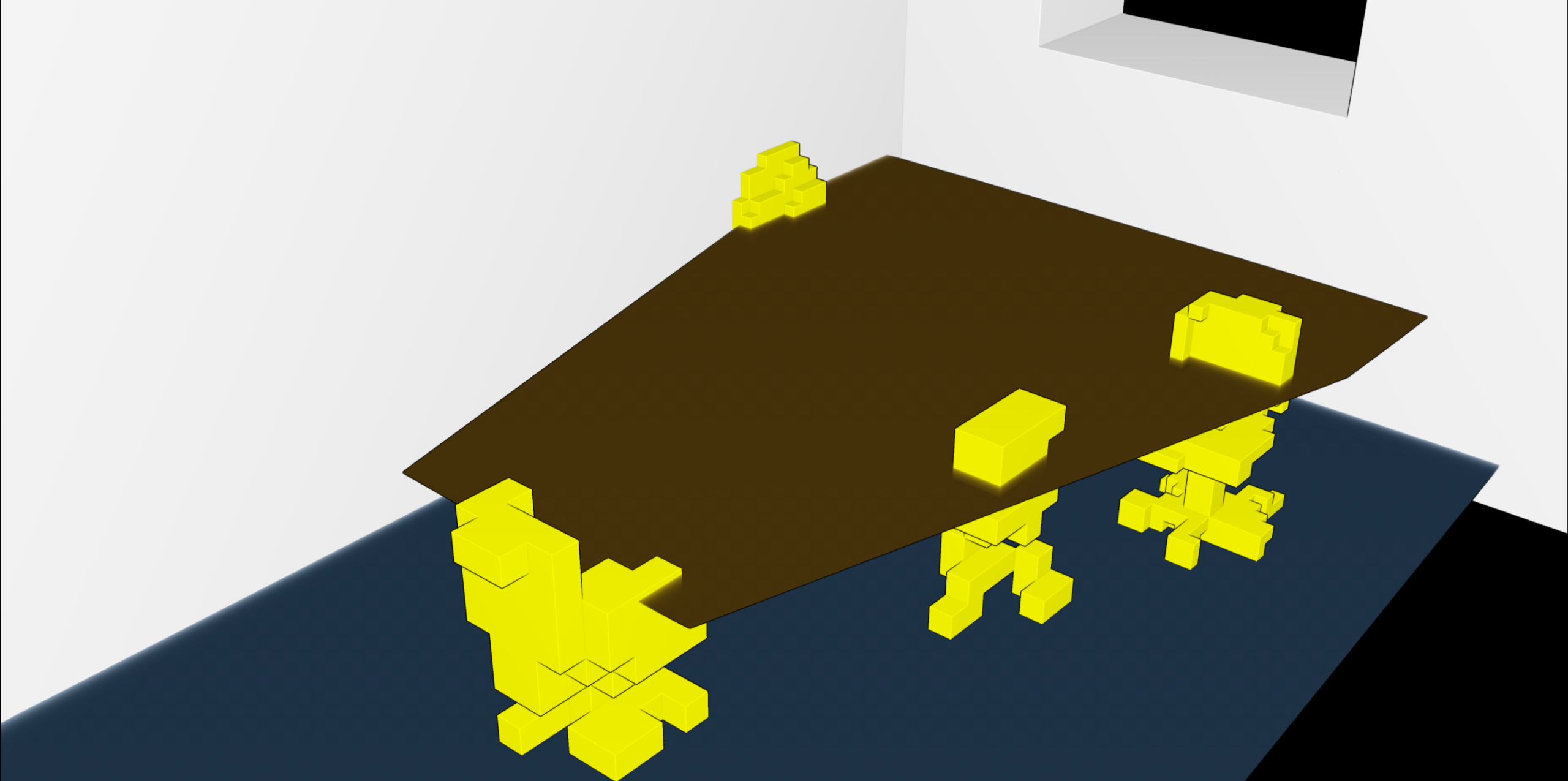
Part segmentation

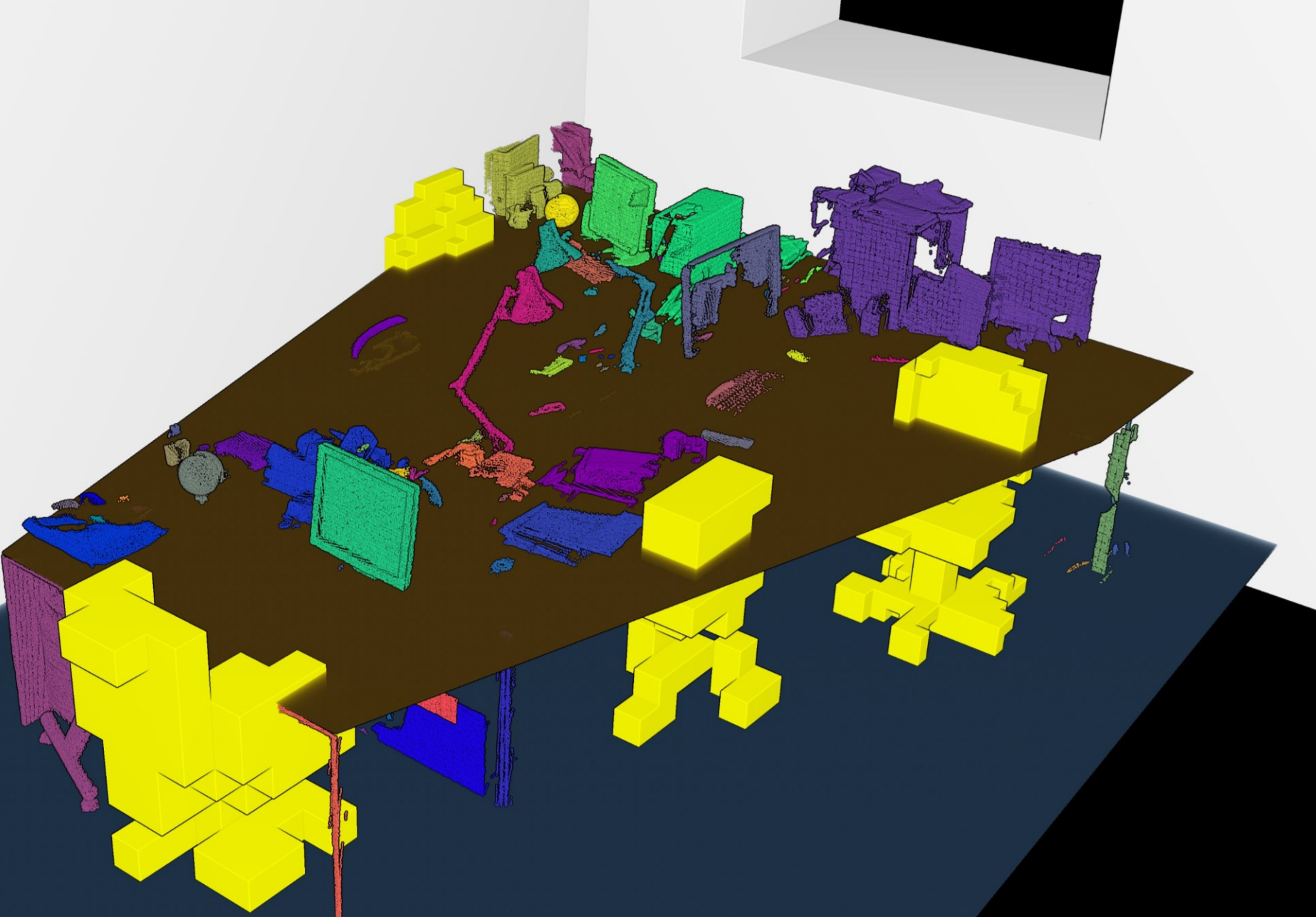


Characterization refinement







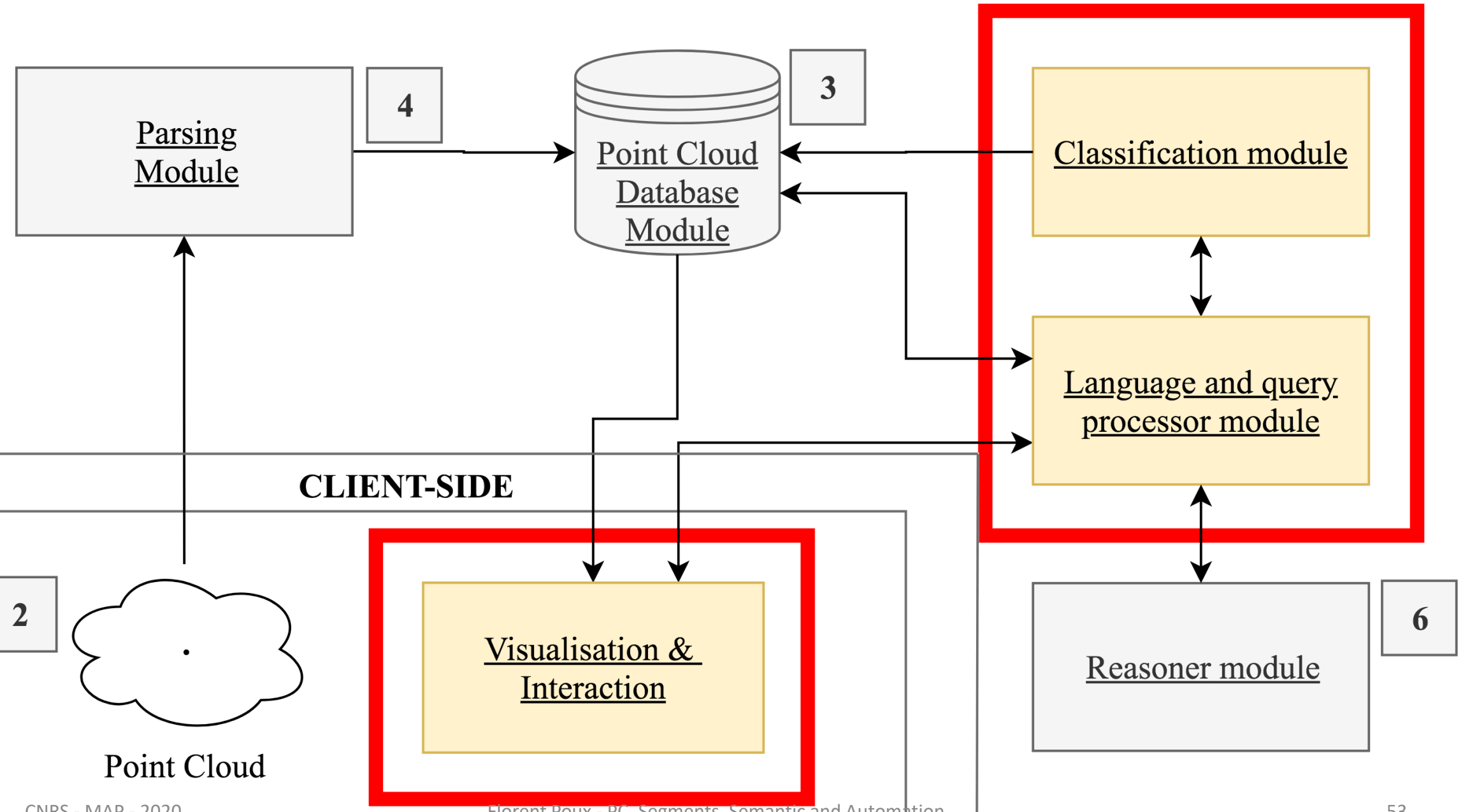


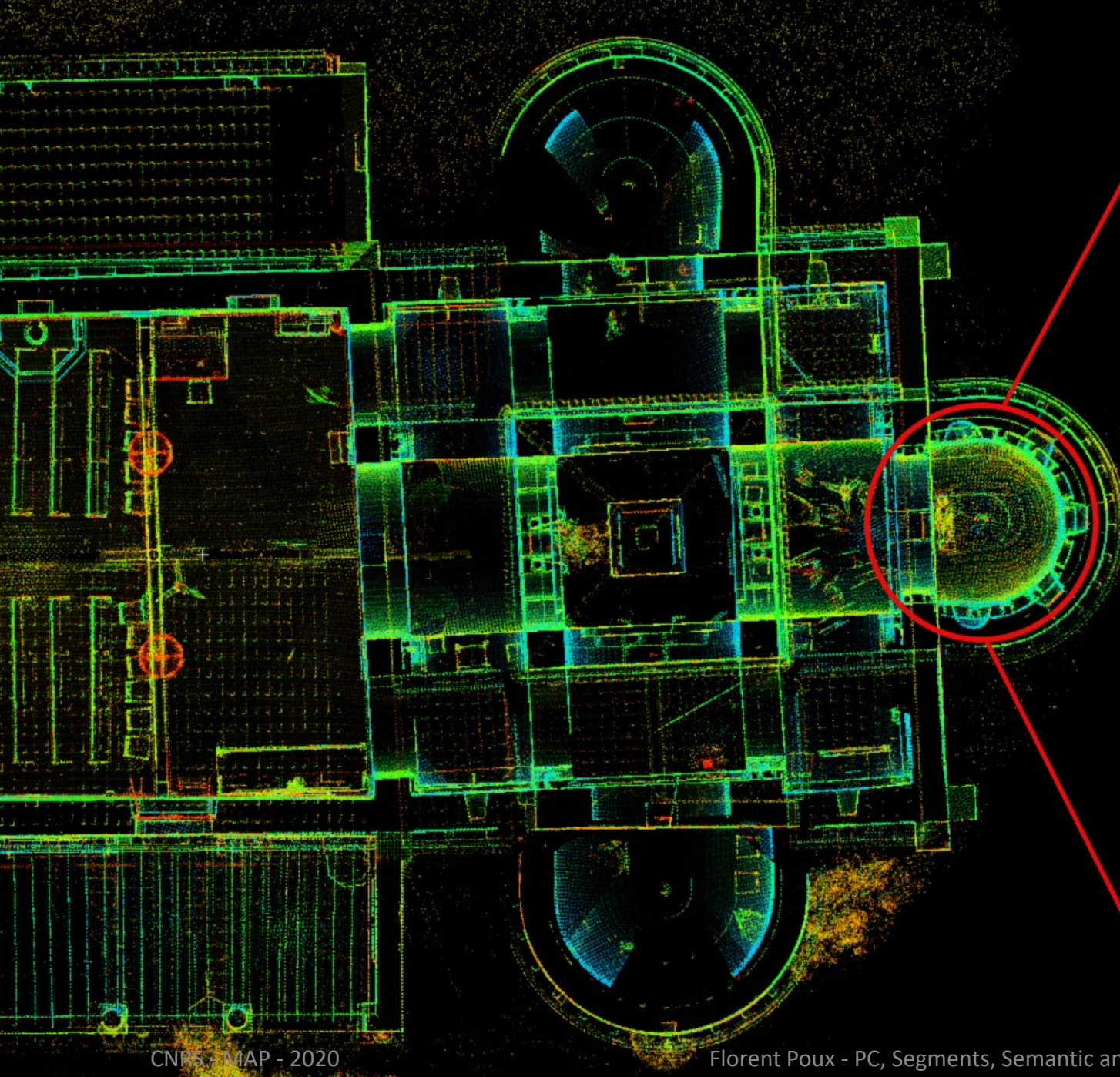
Semantic Representation

How to extract and integrate knowledge within 3D point clouds for autonomous decision-making systems?

1. Using a multi-level conceptual structure
2. Parsing PC at the lowest possible level
3. Plug a domain formalization through an ontology of classification
4. Generate a modular semantic representation

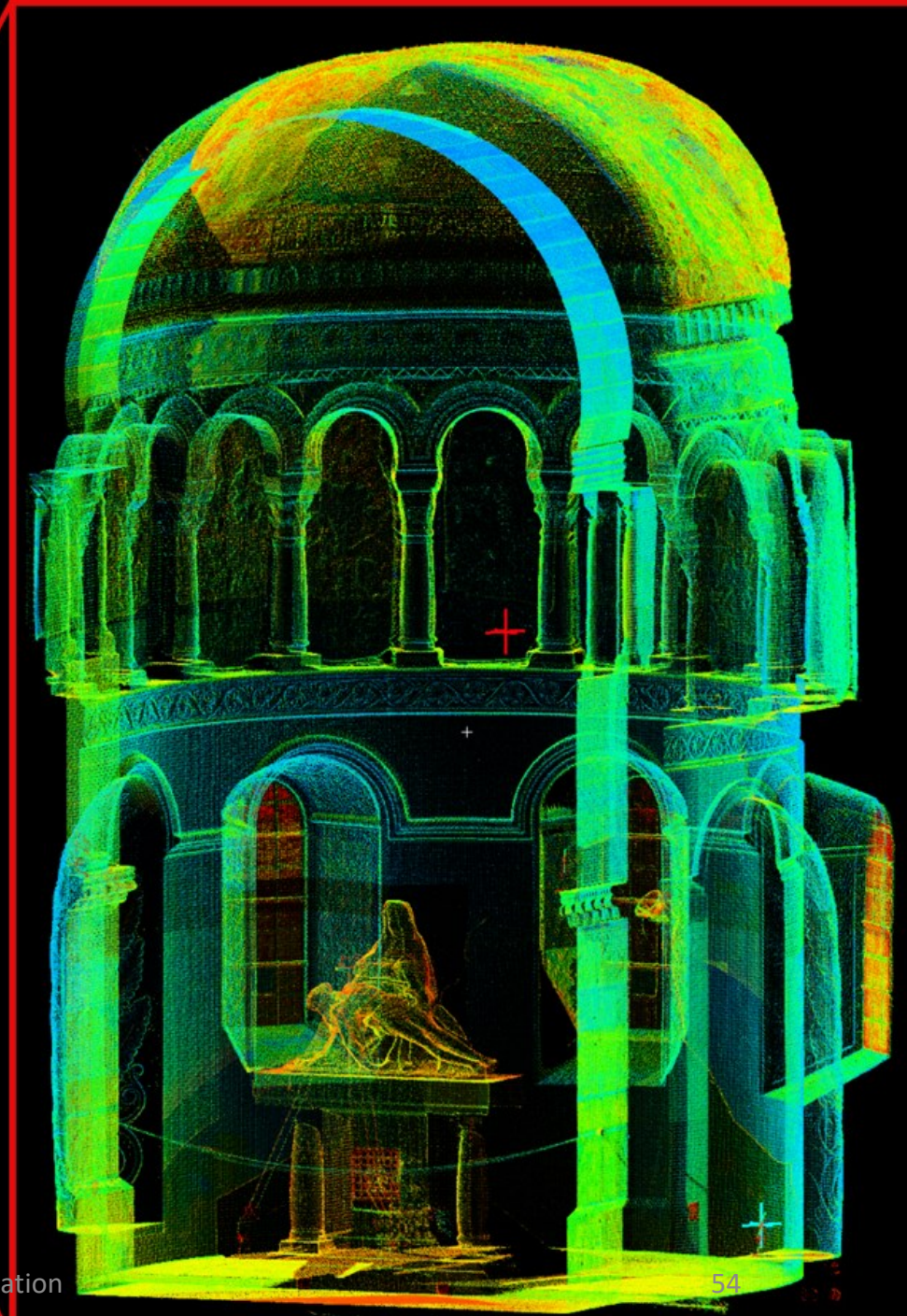
... Automatically ...





CNRS - MAP - 2020

Florent Poux - PC, Segments, Semantic and Automation



54



Florent Poux - PC, Segments, Semantic and Automation

INITIAL

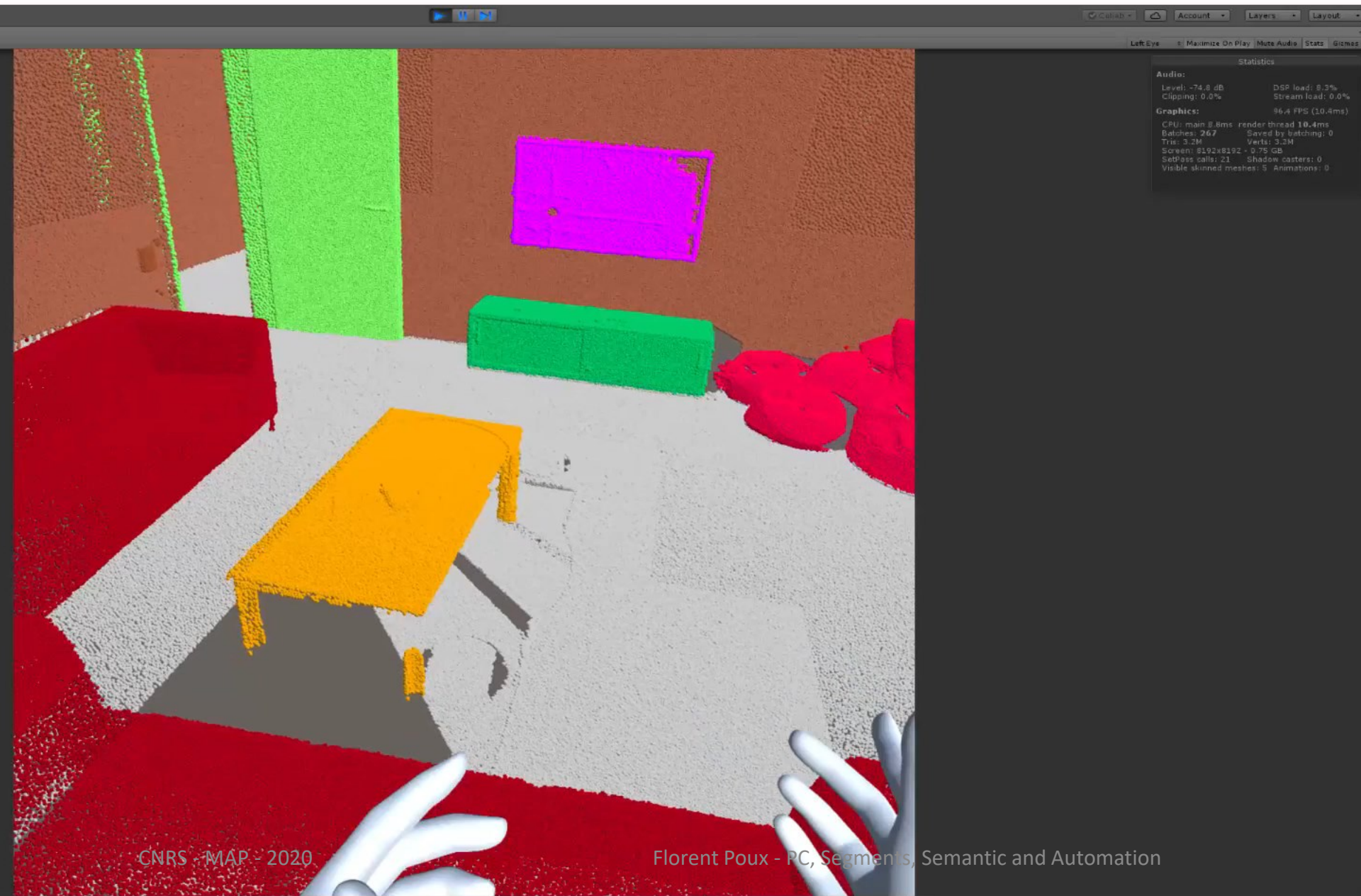
GOLD

FAIENCE

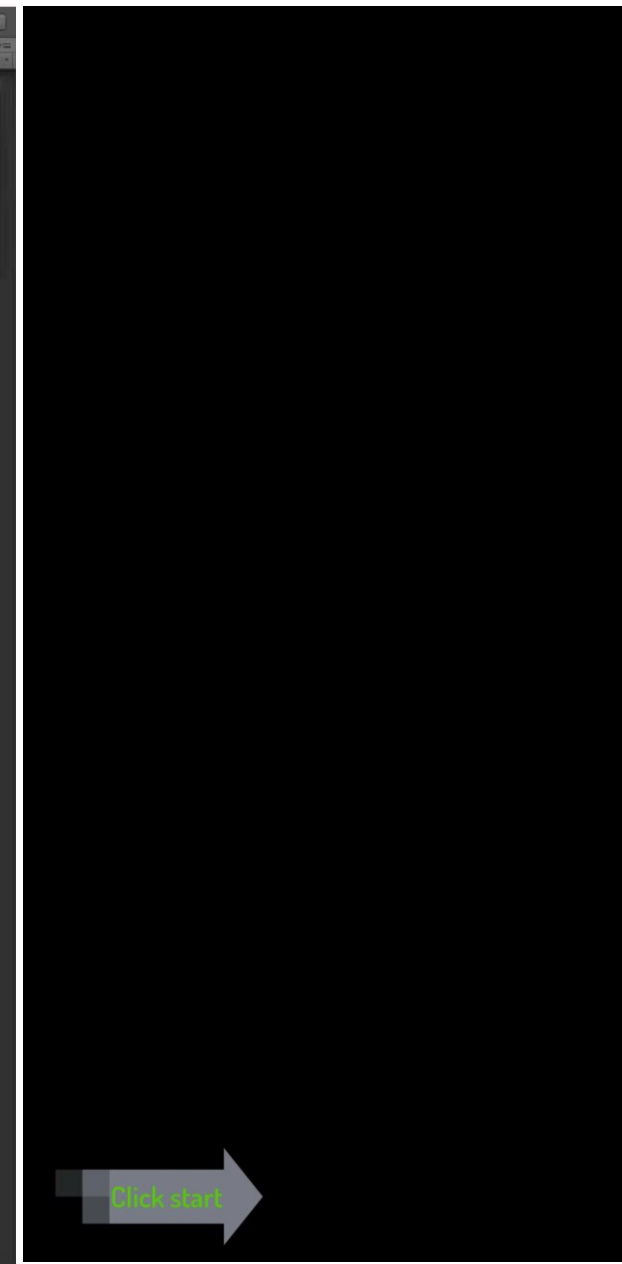
SILVER



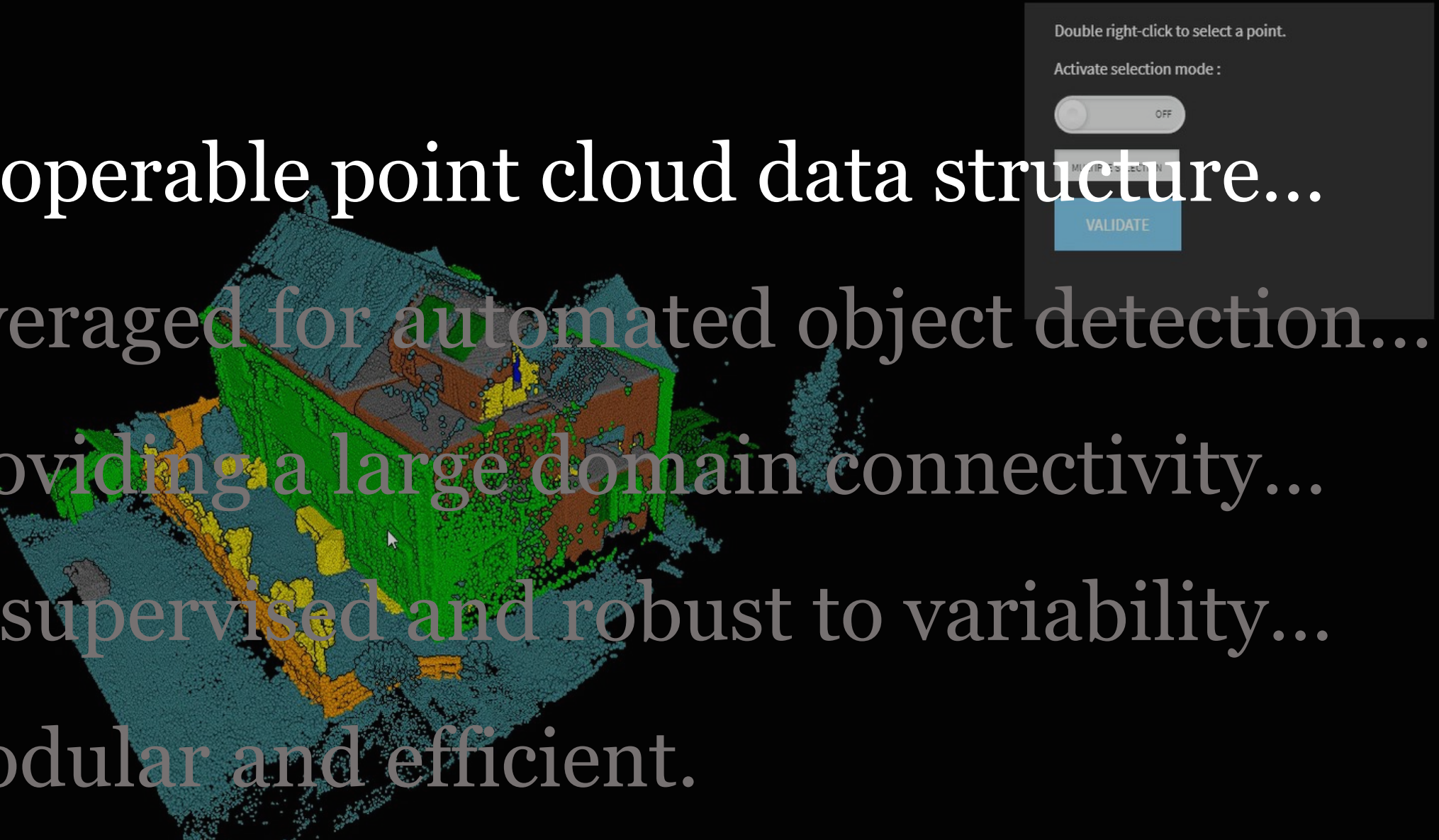
VR APPLICATION



AR APPLICATION



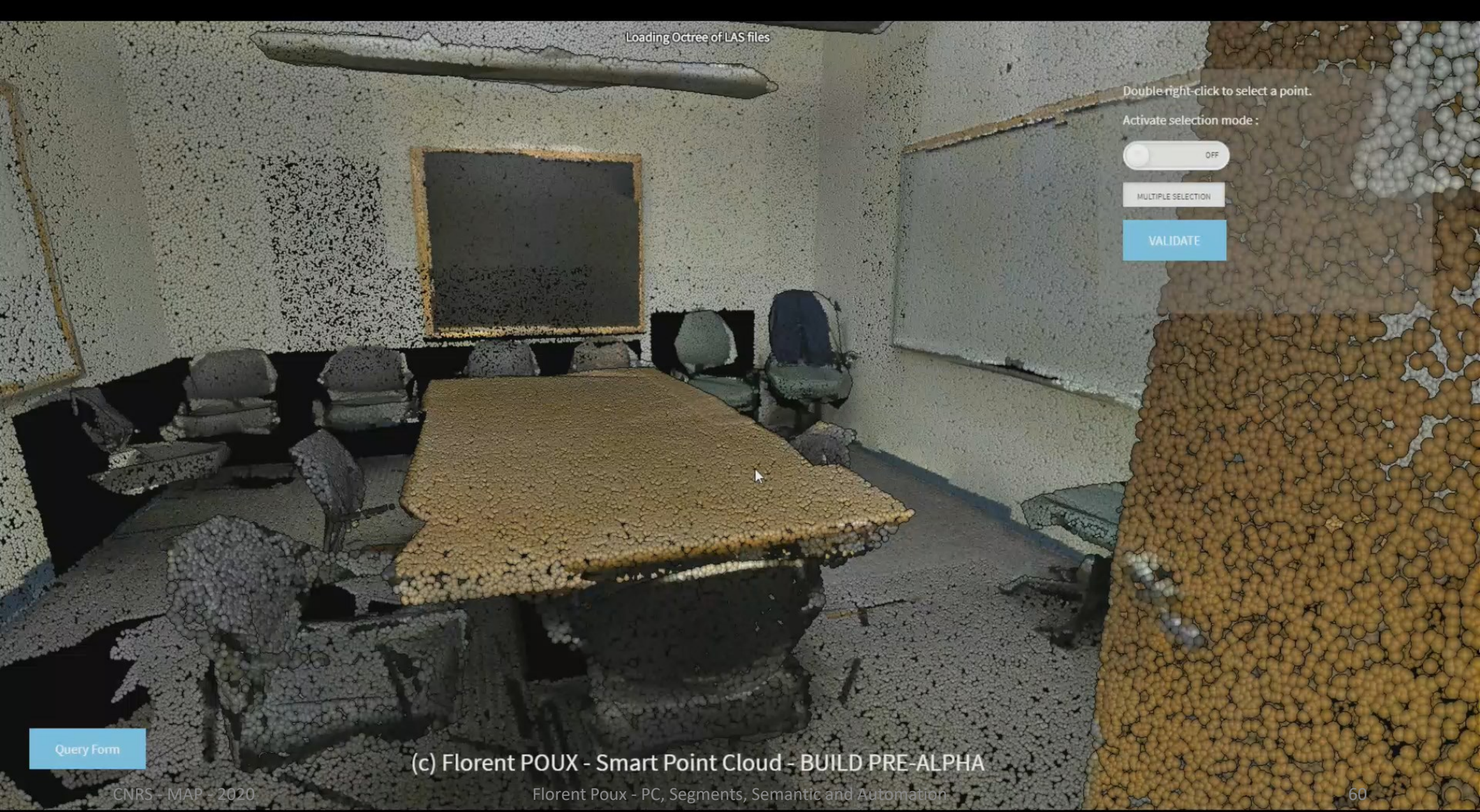
The SPC in 5 points

Double right-click to select a point.
Activate selection mode : OFF

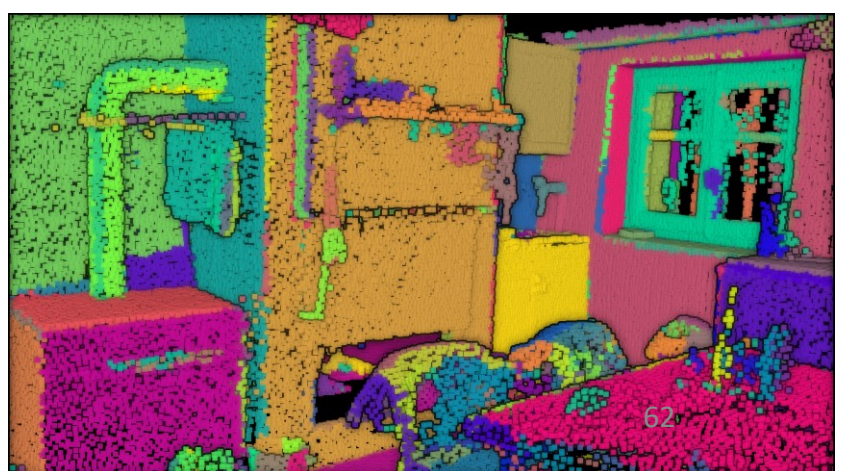
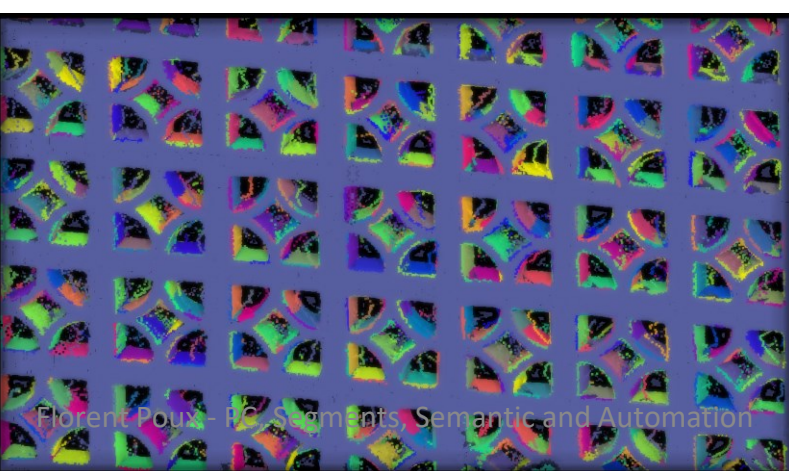
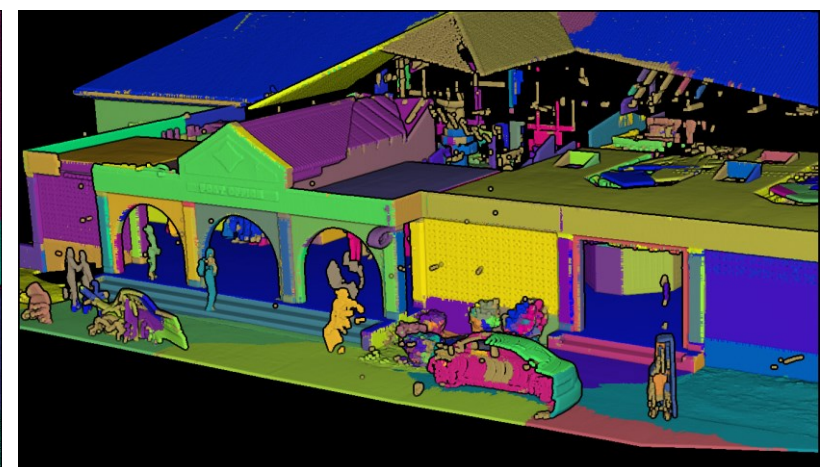
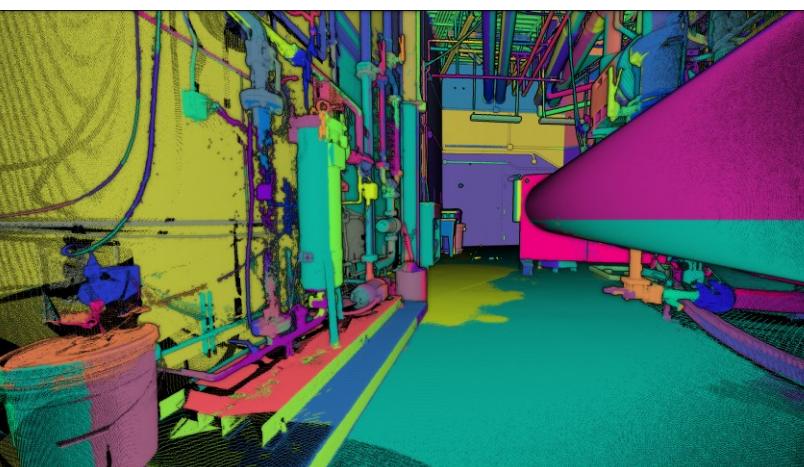
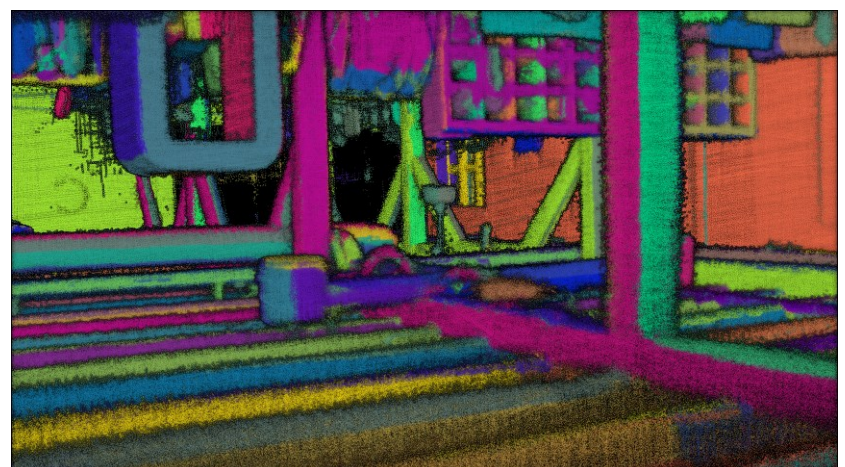
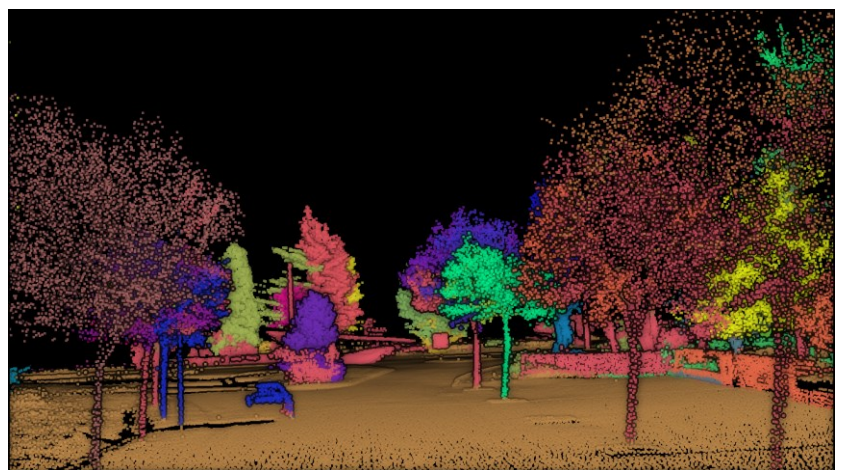
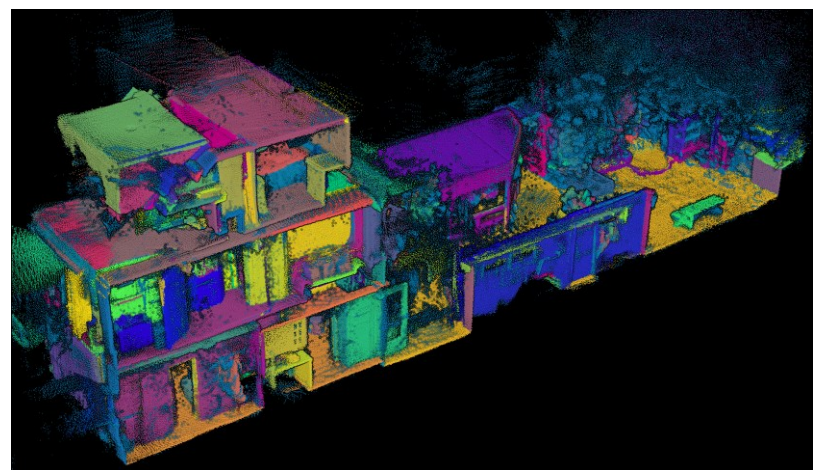
MULTI Selection

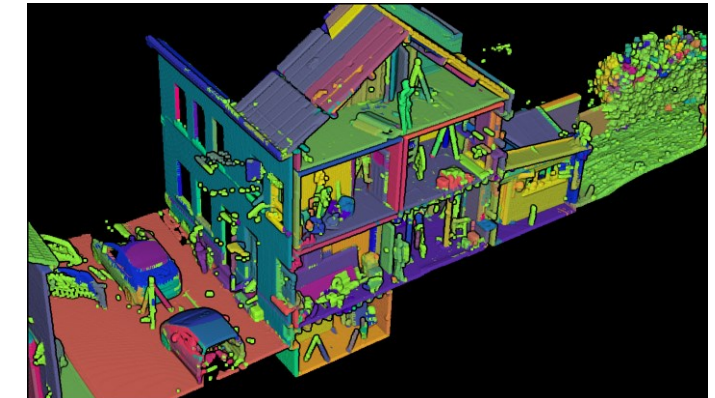
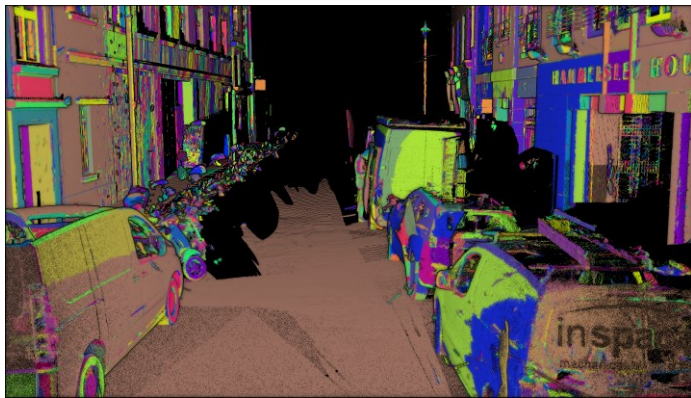
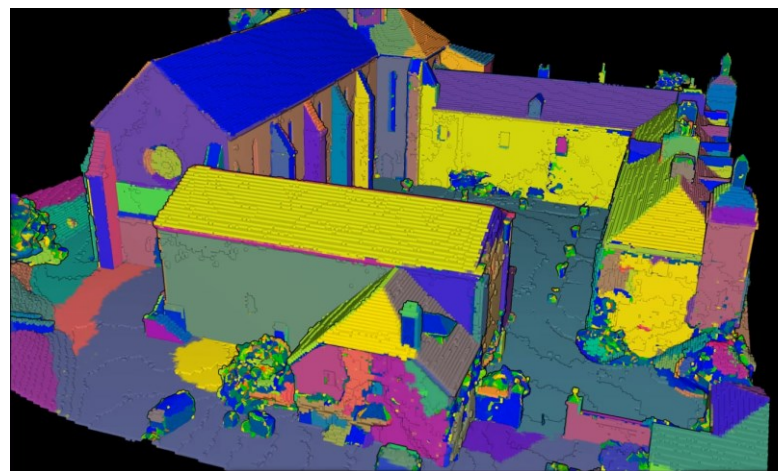
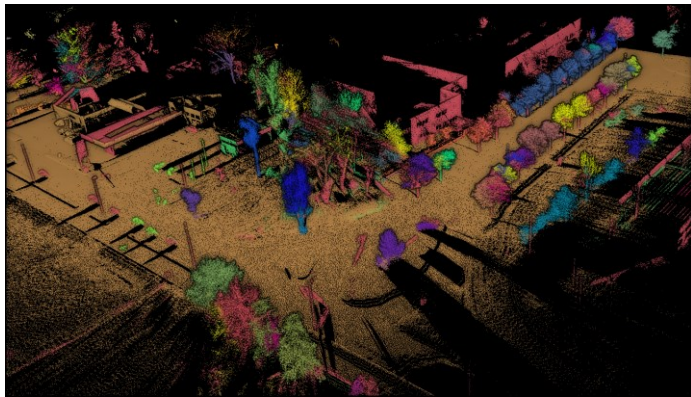
VALIDATE

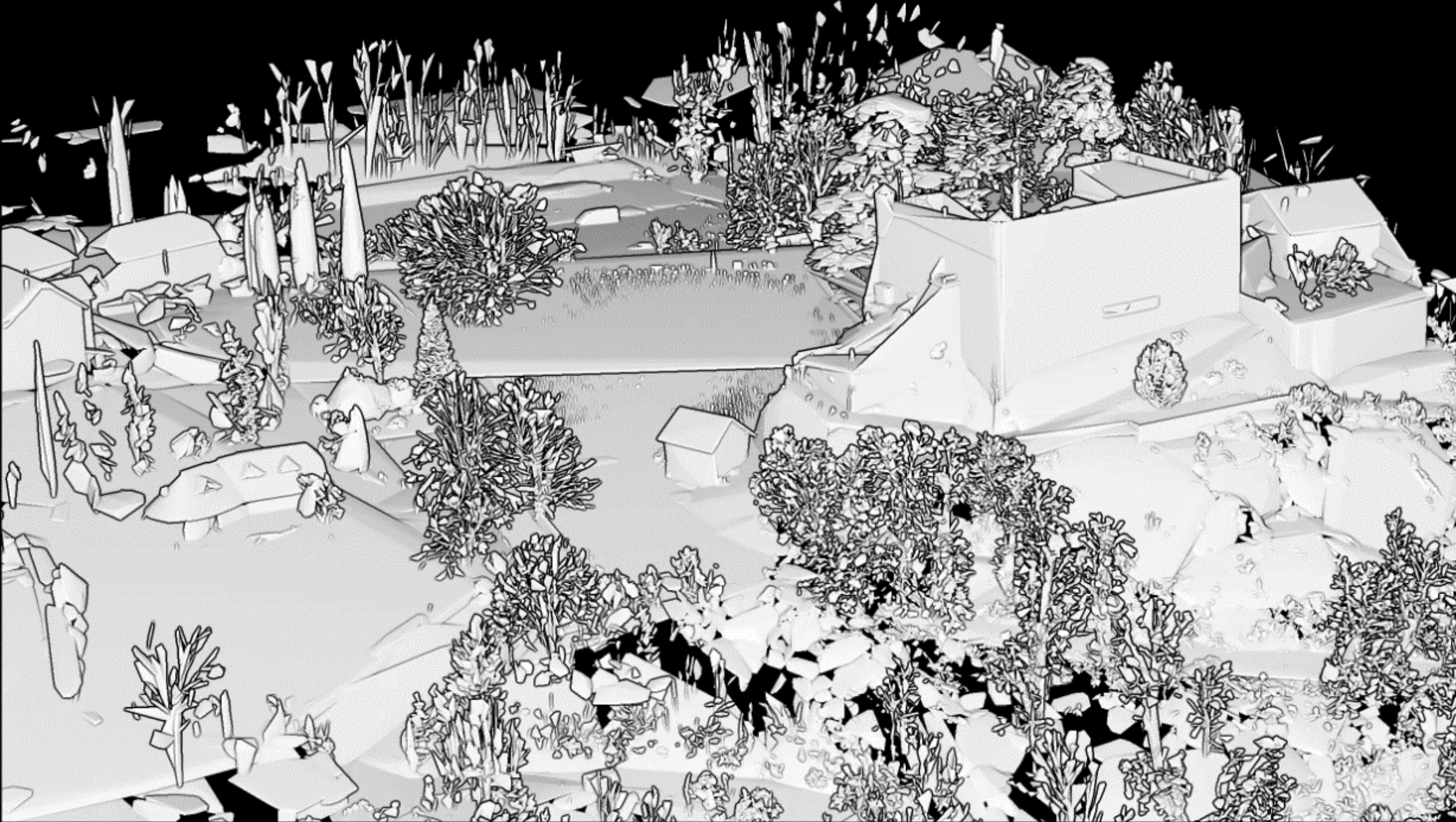
- Interoperable point cloud data structure...
- ... leveraged for automated object detection...
- ... providing a large domain connectivity...
- ... unsupervised and robust to variability...
- ... modular and efficient.



- Define powerful SPC-based AI Agents
- Increase generalization / specialization
- Dynamic data and LoD management
- Enhance unsupervised segmentation
- Enhance classification
- Integrate natural processes



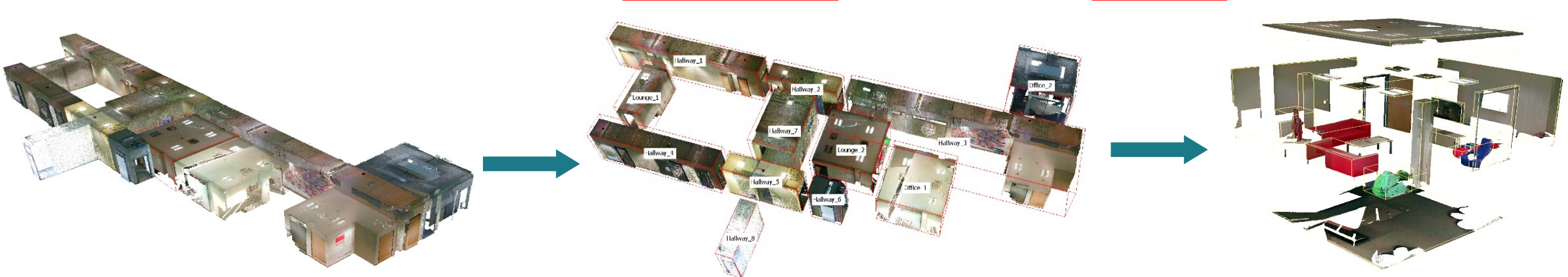




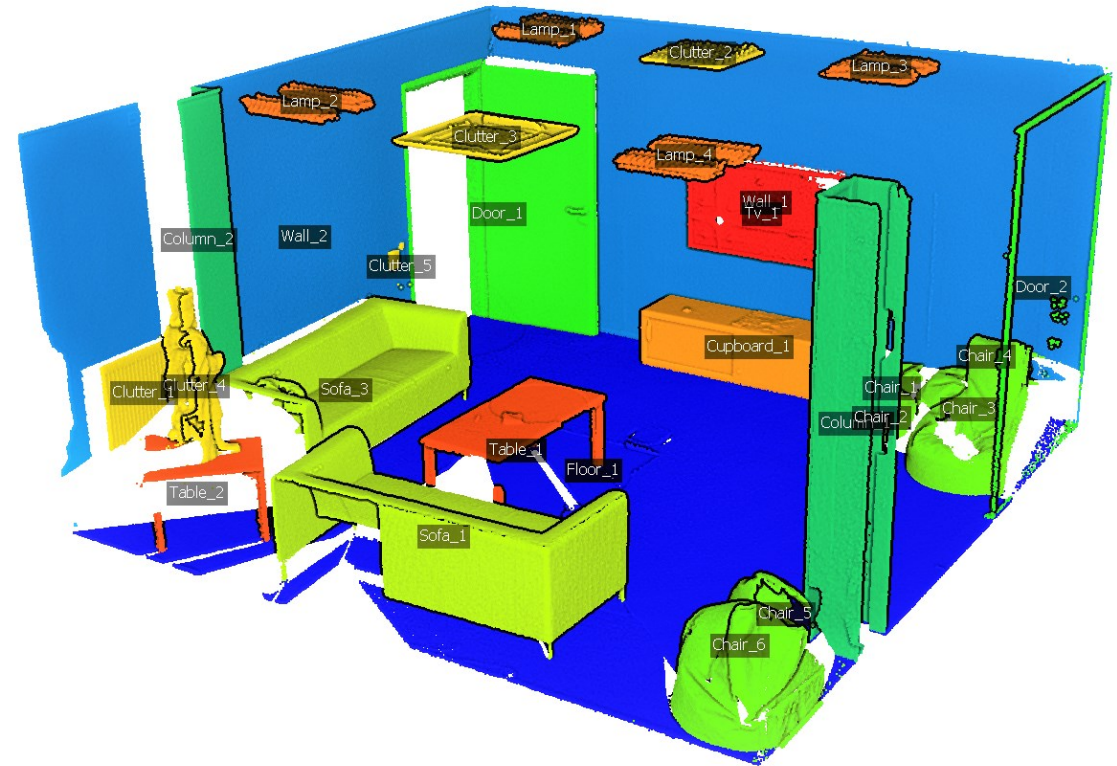




Name	Number of points	Attribute	Sensor	Size Go
CHÂTEAU_JEHAY	2.300.247.428	RGB, intensity	Leica P30	69.636
PCID10_RTWH_Exterior	312.710.687	RGB, intensity	TLS	4,907
PCID11_RTWH_CHAIR	259.101.028	RGB, intensity	TLS	4,807
PCID2_ULG_B5a	115.190.236	RGB, intensity	TLS	3,824
PCID8_NAAVIS_1	44.847.540	RGB	NavVIS	0,657
PCID6_REVO	53.800.194	Without	REVO	0,630
PCID9_NAAVIS_2	4.244.416	RGB	NavVIS	0,062



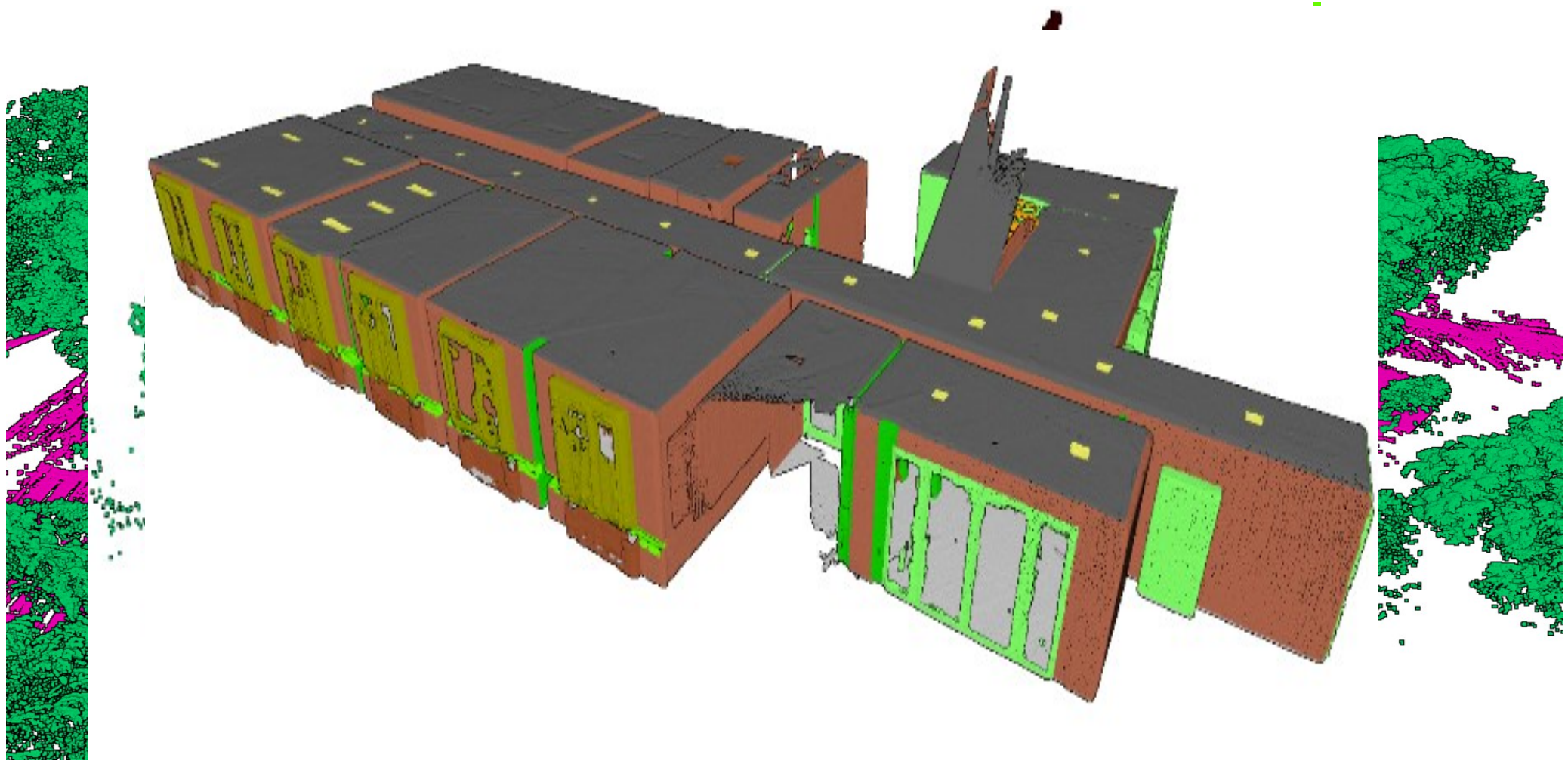
Indoor		Outdoor	
0	Floor	30	road_Sign
1	Ceiling	31	advertisingBoard
2	Wall	32	banc
3	Beam	33	bicycle
4	Column	34	bicycleStation
5	Window	35	Building_facades
6	Door	36	busStation
7	Table	37	car
11	Board	41	Humains
...



.las or .laz

Format specification .LAS version 1.2

Example after classification



PC Segmentation & Map

References

1. Poux, F. The Smart Point Cloud: Structuring 3D intelligent point data, Liège, 2019.
2. Poux, F.; Billen, R. Voxel-Based 3D Point Cloud Semantic Segmentation: Unsupervised Geometric and Relationship Featuring vs Deep Learning Methods. *ISPRS Int. J. Geo-Information* **2019**, *8*, 213.
3. Poux, F.; Neuville, R.; Van Wersch, L.; Nys, G.-A.; Billen, R. 3D Point Clouds in Archaeology: Advances in Acquisition, Processing and Knowledge Integration Applied to Quasi-Planar Objects. *Geosciences* **2017**, *7*, 96.
4. Poux, F.; Billen, R. Smart point cloud: Toward an intelligent documentation of our world. In Proceedings of the PCON; Liège, 2015; p. 11.
5. Poux, F.; Neuville, R.; Hallot, P.; Billen, R. Point clouds as an efficient multiscale layered spatial representation. In Proceedings of the Eurographics Workshop on Urban Data Modelling and Visualisation; Vincent, T., Biljecki, F., Eds.; The Eurographics Association: Liège, Belgium, 2016.
6. Poux, F.; Neuville, R.; Hallot, P.; Van Wersch, L.; Jancsó, A.L.; Billen, R. Digital investigations of an archaeological smart point cloud: A real time web-based platform to manage the visualisation of semantical queries. *Int. Arch. Photogramm. Remote Sens. Spat. Inf. Sci. - ISPRS Arch.* **2017**, *XLII-5/W1*, 581–588.

References

7. Poux, F.; Neuville, R.; Hallot, P.; Billen, R. MODEL FOR SEMANTICALLY RICH POINT CLOUD DATA. *ISPRS Ann. Photogramm. Remote Sens. Spat. Inf. Sci.* **2017**, IV-4/W5, 107–115.
8. Poux, F.; Neuville, R.; Billen, R. POINT CLOUD CLASSIFICATION OF TESSERAE FROM TERRESTRIAL LASER DATA COMBINED WITH DENSE IMAGE MATCHING FOR ARCHAEOLOGICAL INFORMATION EXTRACTION. *ISPRS Ann. Photogramm. Remote Sens. Spat. Inf. Sci.* **2017**, IV-2/W2, 203–211.
9. Poux, F.; Neuville, R.; Nys, G.-A.; Billen, R. 3D Point Cloud Semantic Modelling: Integrated Framework for Indoor Spaces and Furniture. *Remote Sens.* **2018**, 10, 1412.
10. Poux, F.; Billen, R. A Smart Point Cloud Infrastructure for intelligent environments. In *Laser scanning: an emerging technology in structural engineering*; Lindenbergh, R., Belen, R., Eds.; ISPRS Book Series; Taylor & Francis Group/CRC Press: United States, 2019 ISBN in generation.
11. Poux, F.; Hallot, P.; Neuville, R.; Billen, R. SMART POINT CLOUD: DEFINITION AND REMAINING CHALLENGES. *ISPRS Ann. Photogramm. Remote Sens. Spat. Inf. Sci.* **2016**, IV-2/W1, 119–127.
12. Poux, F. Vers de nouvelles perspectives lasergrammétiques : optimisation et automatisation de la chaîne de production de modèles 3D Florent Poux To cite this version : HAL Id : dumas-00941990. **2014**.
13. Novel, C.; Keriven, R.; Poux, F.; Graindorge, P. Comparing Aerial Photogrammetry and 3D Laser Scanning Methods for Creating 3D Models of Complex Objects. In Proceedings of the Capturing Reality Forum; Bentley Systems: Salzburg, 2015; p. 15.